

*Prof. dr. LAURENȚIU MIRCEA POPESCU*

*Conf. dr. NICOLAE IONESCU*

*Prof. dr. DOINA ONICESCU*

ATLAS  
color  
de HISTOLOGIE



EDITURA MEDICALĂ  
BUCUREŞTI - 1995 -

## **Sumar**

1. ȚESUTUL EPITELIAL — 7
2. ȚESUTURILE CONJUNCTIVE — 15
3. ȚESUTUL CARTILAGINOS ȘI OSOS — 22
4. ȚESUTUL MUSCULAR — 29
5. ȚESUTUL ȘI SISTEMUL NERVOS — 36
6. SÂNGELE ȘI MĂDUVA HEMATOGENĂ — 46
7. APARATUL CIRCULATOR — 53
8. ORGANELE LIMFOIDE — 59
9. APARATUL DIGESTIV — 65
10. APARATUL RESPIRATOR — 87
11. APARATUL URINAR — 91
12. GLANDELE ENDOCRINE — 96
13. APARATUL REPRODUCĂTOR FEMININ — 104
14. APARATUL REPRODUCĂTOR MASCULIN — 115
15. PIELEA — 119
16. ORGANELE DE SIMȚ — 126

## Prefață

O prefață (bună?) se scrie greu sau nu se scrie. Cine citește o prefață? Cel ce este interesat sau cel ce deschide din întâmplare la pagina respectivă și poate deveni interesat. Cum să interesezi pe cineva? Spunând cine ești, ce faci, ce vrei și ce sperii.

Acest „Atlas color de histologie” este o premieră absolută în literatura bio-medicală românească, un posibil dicționar românesc de imagini ale structurii microscopice a organismului uman.

Lipsa unui asemenea Atlas este paradoxală, deoarece Catedra de Histologie a Facultății de Medicină din București (înființată în 1879, a doua în Europa și implicit în lume) s-a bucurat, de-a lungul timpului, de activitatea unor nume ilustre: M. Petrini-Galatz, editor al primului curs de histologie în limba română (1881), dar și intemeietorul școlii românești de dermatologie; Gh. Marinescu, cel mai mare neurolog pe care România l-a dat lumii; Al. Obreja, intemeietorul psihiatriei românești; I.T. Niculescu, marele neuro-histolog; I. Diculescu, modernizatorul histologiei românești din anii '60-'70. De asemenea, au lucrat în Catedra de Histologie a facultății noastre, cu rezultate reciproc benefice, personalități ca: D. Bagdasar, I. Pavel, O. Sager, G. Litarczek, M. Popper, C. Arseni și alții.

Povara științifică și spirituală este grea, dar cineva trebuie să o preia. Atlasul conține imagini color ale celor

*mai reprezentative aspecte microscopice celulare, tisulare și de organ ce intră în alcătuirea organismului uman. Fiecare imagine este însoțită de o scurtă legendă, indicând componentele semnificative. De altfel, imaginile au fost alese să fie grăitoare prin ele însеле, conform vechiului proverb chinezesc: „O imagine valorează mai mult decât o mie de cuvinte”.*

Toate imaginile sunt obținute în Catedra de Biologie Celulară și Histologie a Universității de Medicină și Farmacie „Carol Davila” din București. Am încercat să înclinăm corect balanța între tehnici histologice clasice (empirice) și tehniciile mai noi. Autorii cred că acest Atlas, primul apărut în țara noastră, va satisface, cel puțin în parte, cerințele învățământului medical superior și pe cele ale specialiștilor din diverse domenii (nu numai strict medicale) creând o eventuală emulație pentru studiul și cercetarea științifică de specialitate.

*Obișnuința este ca la sfârșitul unei prefețe să fie adresate mulțumiri acelora despre care credem (sau cred ei însiși) că au contribuit. Nu cred că este potrivit acum să menționăm un lung șir de nume. Este mult mai bine să le mulțumim în viață reală, decât convențional într-o prefață!*

Prof. Dr. LAURENȚIU M. POPESCU  
MEMBRU CORESPONDENT AL  
ACADEMIEI ROMÂNE  
VICEPRESIDENTE AL ACADEMIEI  
DE ȘTIINȚE MEDICALE

## Tesutul epitelial

Fig. 1. Epiteliu simplu pavimentos. Celule de formă poligonală cu nuclei rotunzi - ovali în poziție centrală, colorați în violet; citoplasma este roz, iar limitele celulare apar colorate în violet.

Col. H.E., ob. 25.

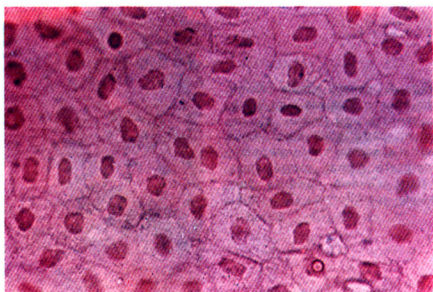
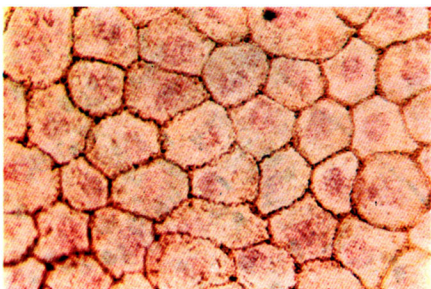


Fig. 2. Epiteliu simplu pavimentos. Limitele celulare apar colorate în brun-inchis, datorită depunerii nitratului de argint la nivelul substanței intercelulare. Nucleii sunt colorați în violet cu hemalaun. Impregnare argentică, ob. 25.



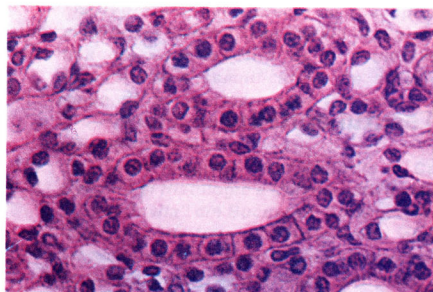


Fig. 3. Epiteliu simplu cubic din tubii renali. Col. H.E., ob. 25.

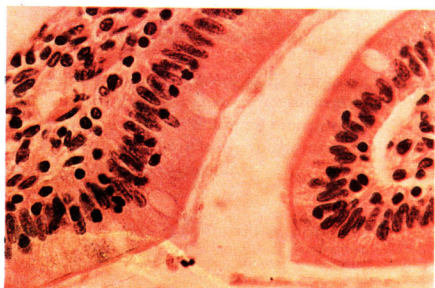


Fig. 4. Epiteliu simplu cilindric din intestin. Celulele sunt înalte, columnare, cu nuclei alungiti situați către polul basal. Polul apical al acestor celule prezintă o îngroșare numită platou striat. Printre celulele cilindrice apar celule caliciforme. Col. H.E., ob. 25.

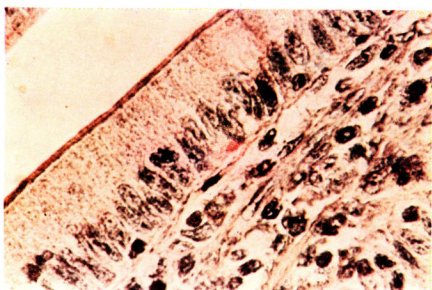
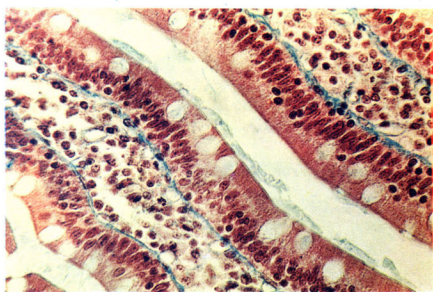
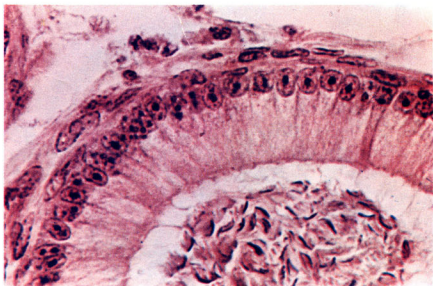


Fig. 5. Epiteliu simplu cilindric din intestin. Celule columnare cu nuclei în treimea bazală. La polul apical platoul striat. Col. hematoxilină ferică, Heidenhain, ob. 40.

*Fig. 6. Epiteliu simplu cilindric din intestin. Celule cilindrice înalte cu platou striat dispuse într-un singur rând pe membrana bazală colorată în albastru-verzui. Celulele caliciforme necolorate. Nuclei de limfocite printre celulele epiteliale. Col. MASSON - modificat, ob. 20.*



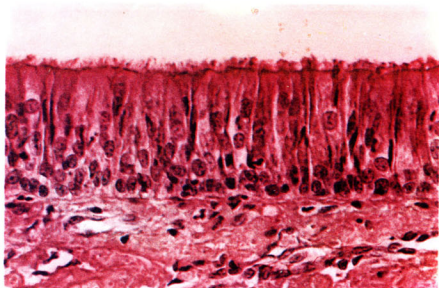
*Fig. 7. Epiteliu pseudostratificat din epididim. Nucleii celulelor epiteliale sunt situați la diferite înălțimi dând impresia de mai multe rânduri de celule. În realitate există un singur rând de celule toate venind în contact prin polul lor profund cu membrana bazală. Col. H.E., ob. 20.*



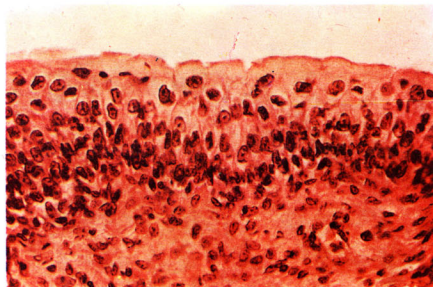
*Fig. 8. Epiteliu pseudostratificat din epididim. Stereocili la polul apical al celulelor. Col. H.E., ob. 40.*



**Fig. 9.** Epiteliu pseudostratificat. Epididim. În citoplasma apicală se observă un precipitat negru reprezentând zona Golgi supranucleară reacție pentru Tiaminipirofosfatază, supricolorare cu eozină, ob. 40.



**Fig. 10.** Epiteliu pseudostratificat cilindric ciliat - trahee. Celulele de înălțimi diferite dispuse într-un singur rând pe membrana bazală: celule scunde cu nucleu rotund, intens bazofil dispuse basal; celule de talie medie cu nuclei alungiti în poziție intermedie; celule înalte cu nuclei în apropierea polului luminal. Suprafața celulelor columnare prezintă cili. Col. H.E., ob. 40.



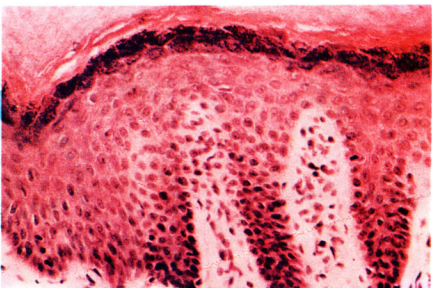
**Fig. 11.** Epiteliu de tranziție pluristratificat polimorf sau uroteliu. Format din: stratul bazal cu un singur rând de celule cubice așezate pe membrana bazală; stratul intermediar alcătuit din mai multe rânduri de celule poligonale sau în formă de rachetă; și stratul superficial al celulelor umbeliforme uni sau binucleate fiecare acoperind două-trei celule subiacente. Col. H.E., ob. 40.

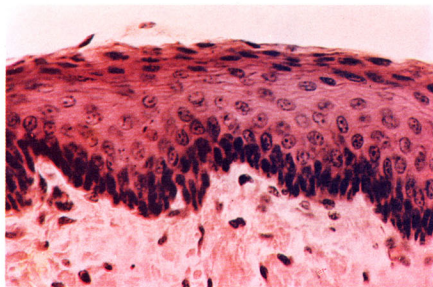
*Fig. 12. Epiteliu stratificat pavimentos keratinizat (epiderm), format din corpul mucos Malpighi și corpul cornos. Col. H.E., ob. 10.*



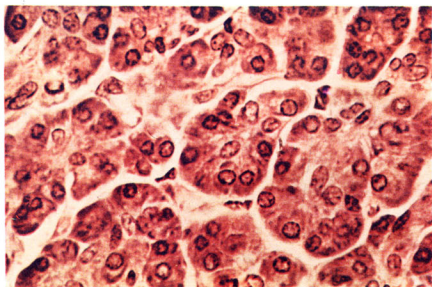
*Fig. 12 A. Epiteliu stratificat pavimentos keratinizat. Col. Voln. GIESON, ob. 20.*

*Fig. 13. Epiteliu stratificat pavimentos keratinizat (epiderm). Format din: 1) stratul basal sau generator cu un singur rând de celule cubice bazofile pe membrana bazală; 2) stratul spinos format din mai multe rânduri de celule poligonale cu nuclei rotunzi așezăți central; 3) stratul granular format din 3-5 rânduri de celule romboidele cu citoplasma întunecată bazofilă, datorită prezenței granulelor de keratohialină; 4) stratul lucid format din celule turtite cu nuclei degenerați și 5) stratul cornos format din celule turtite cornoase, anucleate, citoplasma lor e încărcată cu cheratină. Col. H.E., ob. 40.*

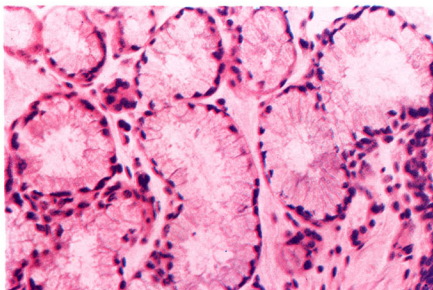




*Fig. 14. Epiteliu stratificat pavimentos nekeratinizat (esofag).* Stratul basal generator, stratul intermediar, stratul celulelor poligonale dispuse pe mai multe rânduri și stratul superficial format din celule turtite cu nuclei alungiti, situați pe axul lung, paralel cu suprafața epitelului iar la suprafață celule pavimentoase, anucleate. Col. H.E., ob. 40.

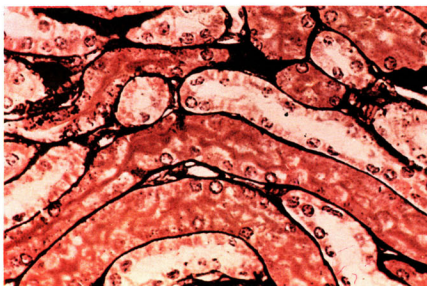
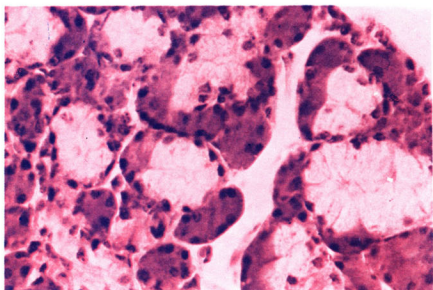


*Fig. 15. Epiteliu glandular exocrin* (pancreas, glandă tubulo-acinoasă compusă). Acini de formă rotundovalar, formați din celule seroase întunecate a căror citoplasmă prezintă dublă colorabilitate: bazofilă la polul basal datorită reticulului endoplasmic rugos și acidofilă la polul apical datorită granulelor de secreție. Nucleii celulelor seroase sunt rotunzi și situați în treimea inferioară a celulelor. Col. H.E., ob. 40.

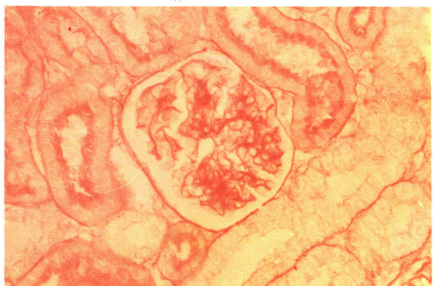


*Fig. 16. Epiteliu glandular exocrin* (submandibulară, glandă tubulo-acinoasă compusă): acini mucoși. Acini de formă alungită cu celulele mucoase clare, delimitate un lumen larg, iar nuclei turtiți, împinsî la periferie. Nucleii rotunzi-ovali situati între membrana bazală și polul basal al acinului mucos aparțin celulelor mioepiteliale. Col. H.E., ob. 40.

*Fig. 17. Epiteliu glandular exocrin* (submandibulară, glandă tubulo-acinoasă compusă; acini mixti). Acinul mixt este format dintr-un acin mucos clar cu lumen larg, acoperit la unul din poli de un grup de celule seroase întunecate ce formează o semilună. Col. H.E., ob. 40.



*Fig. 18. Membrane bazale (tubi renali), impregnare argentică,* ob. 40.



*Fig. 19. Membrane bazale* (rinichi). P.A.S., ob. 20.

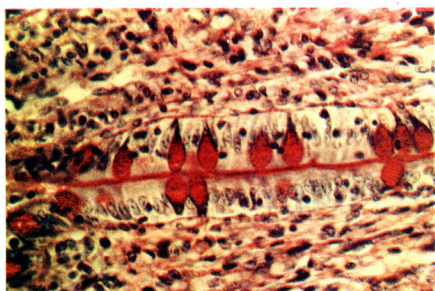


Fig. 20. Glande unicelulare (celule caliciforme din epitelul intestinal). Col. P.A.S., hematoxilină, ob. 40.

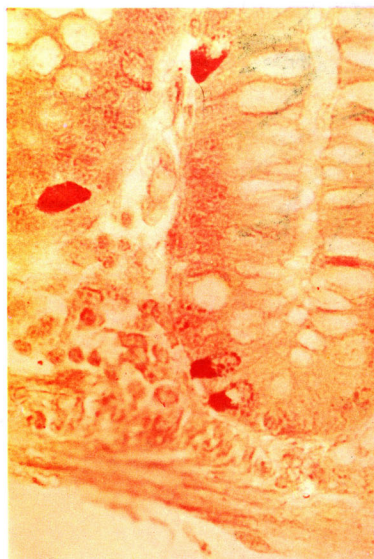


Fig. 21. Celule enterocromafine (celule ale sistemului endocrin difuz al tubului digestiv - APUD). Metoda Grimelius, ob. 20.

## Tesuturile conjunctive

Fig. 22. *Tesut conjunctiv lax.*  
Fibre izolate sau benzi de colagen  
colorate în roz. Nuclei de celule  
conjunctive colorați în violet.  
Arteriolă și venulă. Col. H.E.,  
ob. 25.

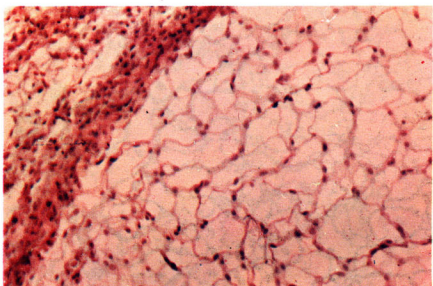
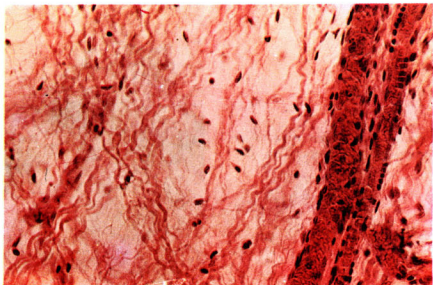


Fig. 23. *Tesut conjunctiv areolar,*  
*(epiplon).* Benzi de fibre de  
colagen cu direcții diferite  
delimitând ochiuri de mărimi  
inegale și nuclei de celule con-  
junctive. Col. H.E., ob. 25.

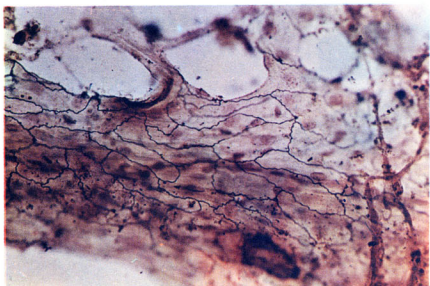


Fig. 24. *Tesut conjunctiv areolar*, (epiplon). Se observă limitele întunecate ale celulelor mezoteliale de suprafață. Impregnare argentică, ob. 20.

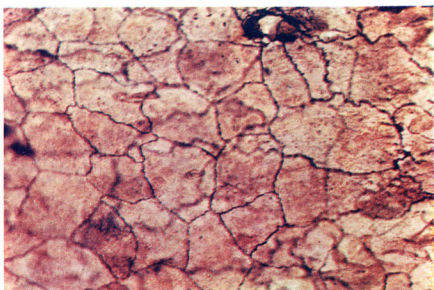


Fig. 24 A. *Celule mezoteliale*. Impregnare argentică, ob. 40.

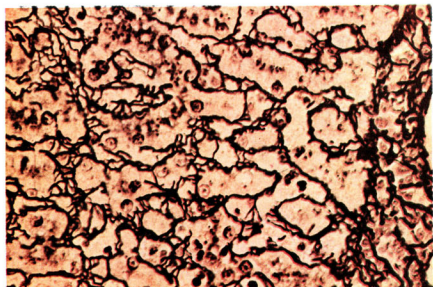


Fig. 25. *Tesut conjunctiv reticular* (ficat). Rețea de fibre de reticulină intralobular, perihepatocitare, colorate în negru. Impregnare argentică, ob. 20.

Fig. 26. Lamele elastice în arteră de tip muscular. Col. orceină, ob. 20.

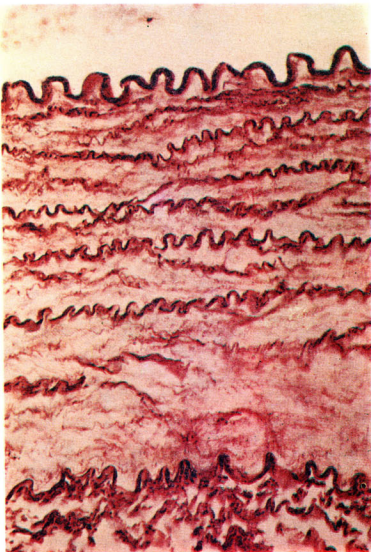
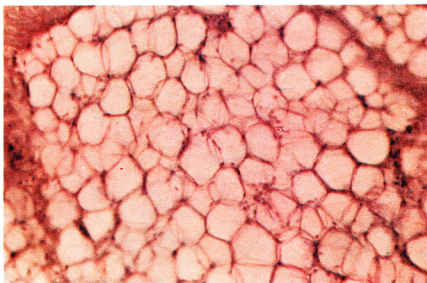


Fig. 27. Tesut adipos alb (unilocular). Imagine de inel cu peșete al adipocitelor. Col. H.E., ob. 20.



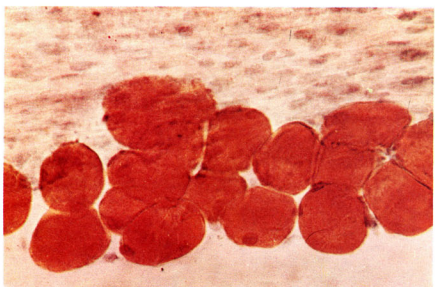


Fig. 28. *Tesut adipos alb* (unilocular). În celulele grase, nuclei turti sunt împinsî la periferie, colorați în violet. Grăsimea sub formă de bulă ocupă cea mai mare parte din celulă, citoplasma rămânând ca un inel la periferie, lângă membrana celulară. Col. Sudan III, supra-colorat cu hemalaun, ob. 40.

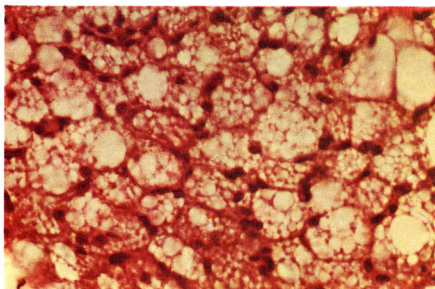


Fig. 29. *Tesut adipos brun* (multilocular). În adipocyte grăsimea apare sub formă de mici și multiple picături izolate. Col. H.E., albastru de metil, ob. 40.

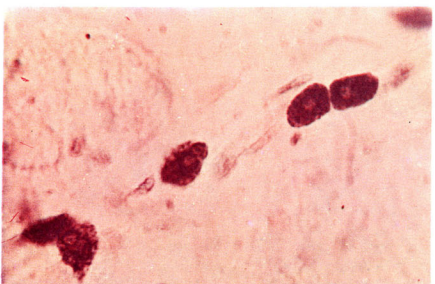


Fig. 30. *Tesut conjunctiv lax*. Mastocite colorate metacromatic, aşezate lângă un capilar sanguin. Col. albastru de toluidină, ob. 40.

Fig. 30 A. Mastocite. Col.  
tionină, ob. 90.

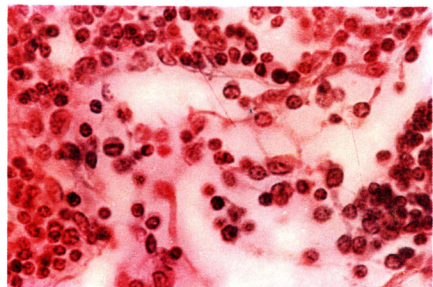
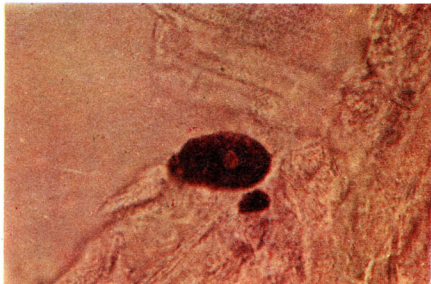


Fig. 31. Tesut conjunctiv reticula-  
lar, medulara ganglionului limfatic.  
Celule reticulare stelate cu  
prelungiri, alături de limfocite și  
plasmocite. Col.H.E., ob. 40.

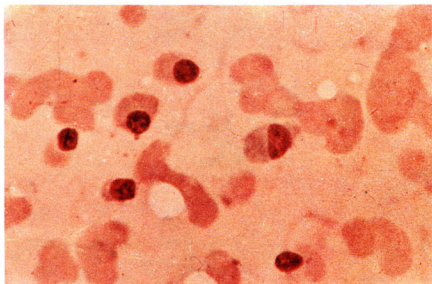


Fig. 32. Plasmocite. Citoplasma  
bazofilă, nucleul este situat  
excentric cu heterocromatina  
alternând radial cu eucromatina,  
în sprijnă de roată. Col. May-  
Grünwald-Giemsa, ob. 40.

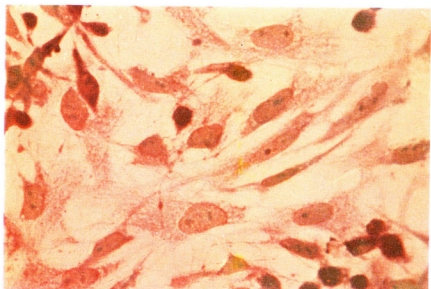


Fig. 32 A. Fibroblaste - Culturi celulare. Col. Giemsa, ob. 40.

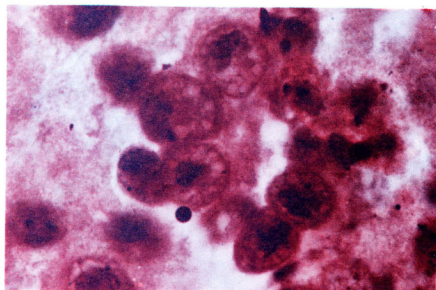


Fig. 32 B. Macrofage alveolare.  
Col. H.E., ob. 90.

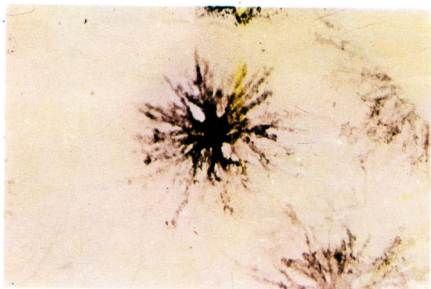
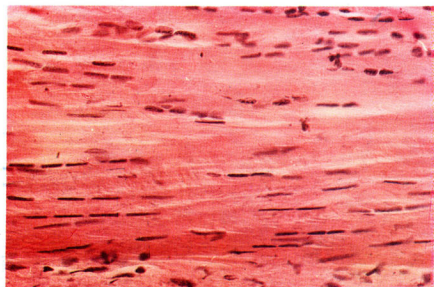
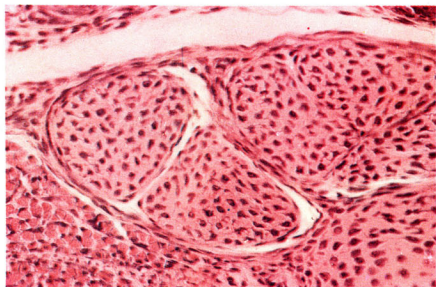


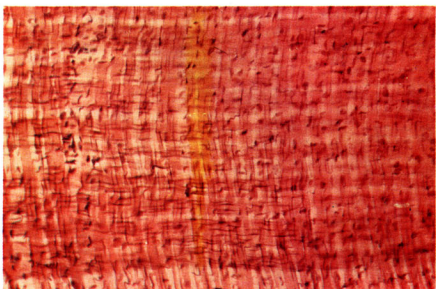
Fig. 33. Celulă pigmentară. (melanocit). Ob. 40.

*Fig. 34.* Tendon, secțiune transversală (țesut conjunctiv dens ordonat). Învelișurile conjunctive sunt reprezentate prin epitenionum (extern), peritenionum (mijlociu) și endotenionum (intern). Tendonul propriu-zis este format din numeroase fibre de colagen, puțină substanță fundamentală și nuclei de celule conjunctive numite tenocite. Lângă tendon, se remarcă fascicule de fibre musculare striații secționate transversal. Col. H.E., ob. 25.



*Fig. 35.* Tendon, secțiune longitudinală (țesut conjunctiv dens ordonat). Benzi de fibre de colagen colorate în roz cu eozină și nuclei bigeminați ai tenocitelor colorați în violet. Col. H.E., ob. 25.

*Fig. 36.* Aponevroză. Fibre de colagen dispuse în mai multe planuri. În același plan, fibrele sunt paralele între ele dar perpendiculară pe fibrele din planul alăturat. Printre fibre, matricea extracelulară este redusă și se observă nuclei celulelor conjunctive de tip fibroblastic. Col., H.E., ob. 25.



## Tesutul cartilaginos și osos



Fig. 37. Cartilaj hialin. Celule cartilaginoase (condrocite) dispuse izolat la periferie, iar în zona centrală în grupuri izogene axiale și coronare. Matricea cartilaginoasă coloratăbazofil mai intens în jurul grupurilor celulare (matricea teritorială) și mai puțin bazofilă în rest (matricea interterritorială). La exterior pericondrul format din stratul extern fibrilar și stratul intern predominant celular. Col. H.E., ob. 25.

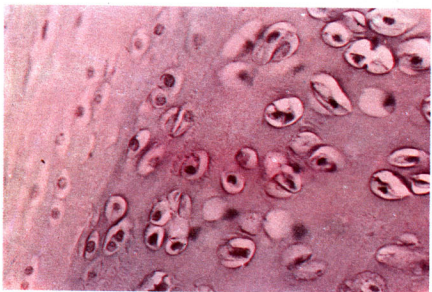
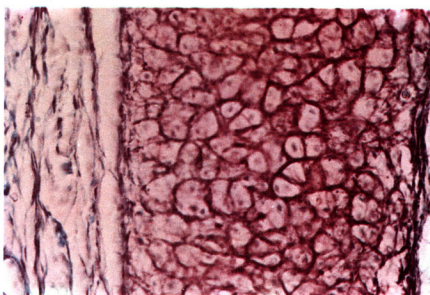


Fig. 38. Cartilaj hialin. Col. H.E., ob. 40.

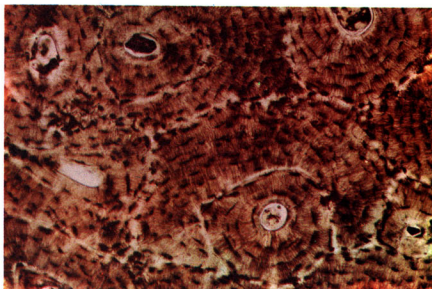
*Fig. 39. Cartilaj elastic.* Celule cartilaginoase dispuse în grupuri izogene mici. Matricea cartilaginoasă este formată din fibre elastice colorate în brun cu orceină. La periferie se află pericondrul. Col. orceină, verde lumină, x 25.



*Fig. 40. Cartilaj fibros - fibrocartilaj.* Predomină fibrele de colagen colorate în roz cu eozină și dispoziție penată. Celulele cartilaginoase sunt izolate sau în grupuri izogene dispuse în lungi coloane situate în unghiuirile formate de benzile de fibre de colagen alăturate. Col. H.E., ob. 20.

*Fig. 41. Os compact uscat*  
secționat transversal. Osteoane (sisteme Haversiene) constituite din iamele osoase concentrice; în grosimea lor apar lacune osoase (osteoplaste) din pereții cărora porneșc radial canalicule osoase. În centrul osteanelor canale Havers, iar între osteoane sisteme interhaversiene.

Necolorat, ob. 10.



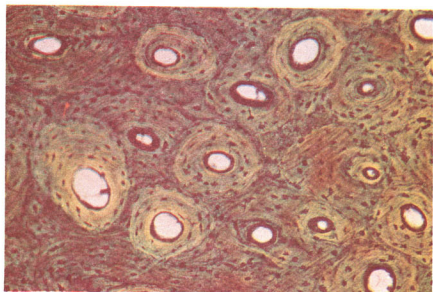


Fig. 42. Os compact uscat, secțiunat transversal. Col. Mor-Purgo, ob. 10.

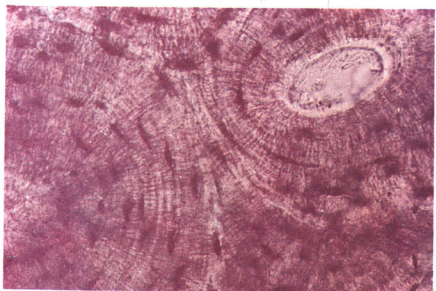


Fig. 43. Tesut osos compact uscat secțiune transversală.  
Necolorat, ob. 40.

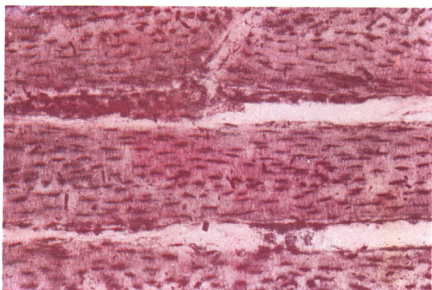
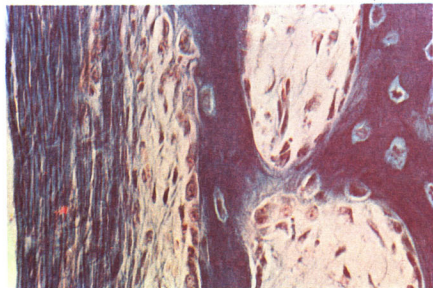
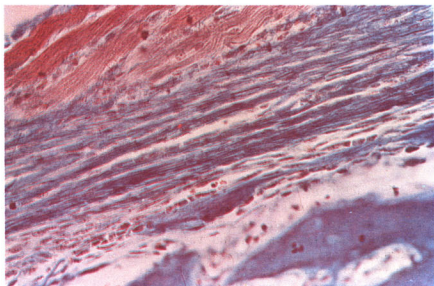


Fig. 44. Tesut osos compact uscat în grosimea lamelelor osoase orientate longitudinal se observă lacunele osoase. Canale Havers orientate longitudinal și canale Volkmann orientate oblic. Secțiune longitudinală. Necolorat, ob. 10.

*Fig. 45. Ţesut osos compact uscat* Se remarcă în osteon alternanța concentrică de lamele osoase, clare și întunecate, precum și fenomenul optic Crucea de Malta. Secțiune transversală, examinat la microscopul cu contrast de fază. Ob. 25.



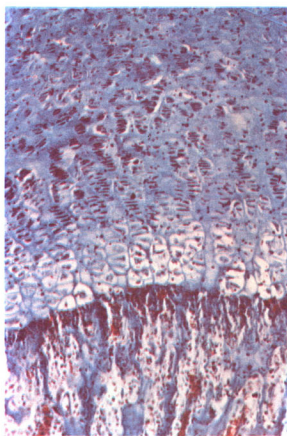
*Fig. 46. Ţesut osos spongios.* Rețea de trabecule osoase de grosimi diferite colorate în albastru cu osteocite în lacunile osoase, iar la suprafață nuclei de osteoblaste. În areolele labirintice dintre trabecule, numeroase capilare sanguine, ţesut conjunctiv și periost. Col. H.E., albastru de metil, ob. 40.



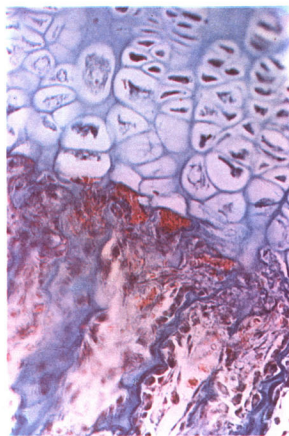
*Fig. 47. Periost.* Situat între ţesutul osos și mușchi este format din stratul extern predominant fibrilar și stratul intern predominant celular. Col. H.E., albastru de metil, ob. 20.



*Fig. 47 A. Membrană sinovială. Col. H.E., albastru de metil, ob.10.*

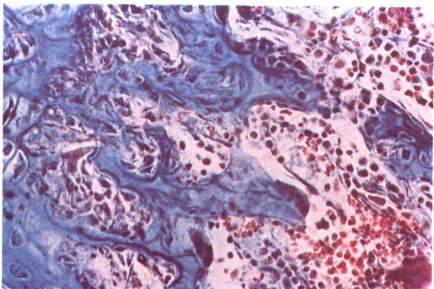


*Fig. 48. Osificare encondrală. La nivelul cartilașului de creștere se observă următoarele zone: zona cartilașului de rezervă; zona de multiplicare (cartilaș seriat), zona cartilașului hipertrofiat și calcificat, zona de degenerare a cartilașului, zona osteogenă. Col. H.E., albastru de metil, ob. 10.*

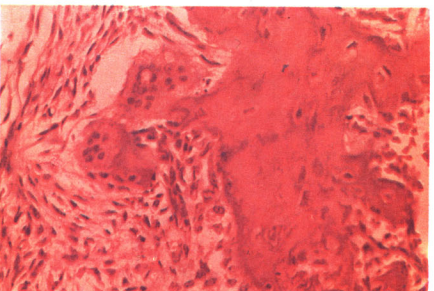


*Fig. 49. Osificare encondrală. Detaliu din figura 48. Col. H.E., albastru de metil, ob. 40.*

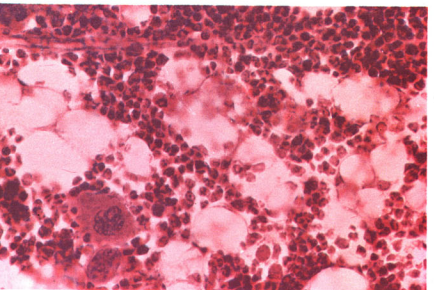
*Fig. 50. Osificare encondrală.*  
Zona de osificare a cartilajului de creștere. Se observă vasele sanguine, celulele conjunctive și la suprafața traveelor calcificate - osteoblaste. Col. H.E., albastru de metil, ob. 40.



*Fig. 51. Osteocaste (os decalcificat).* Celule gigante multinucleate în relație cu traveele osoase. Col. H.E., ob. 40.



*Fig. 52 Măduva osoasă hematogenă.* Megakaricote, celule adipooase, celulele seriei albe și roșii. Eritrocite și granulocite aflate în diferite stadii de diferențiere și maturare. Col. H.E., ob. 40.



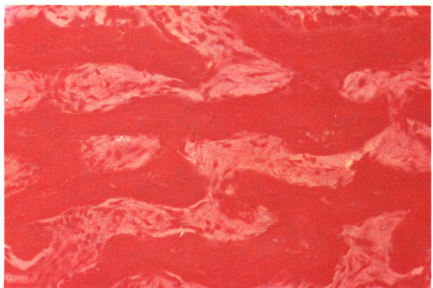


Fig. 52 A. Lamele osoase. Col.  
H.E., ob. 20.

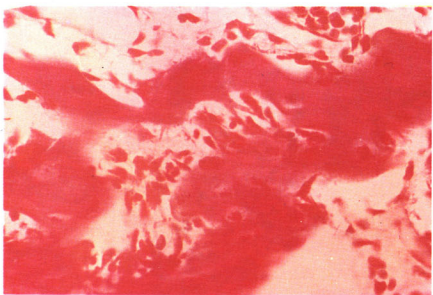


Fig. 52 B. Lamele osoase  
modelate de osteoclaste. Col.  
H.E., ob. 40.

## Tesutul muscular

Fig. 53. Fibra musculară striată (scheletală). Fibrele musculare de formă cilindrică au striații transversale alternate, determinate de prezența discurilor clare și întunecate din miofibriile. Nucleii situați la periferia sarcoplasmei lângă sarcolemă sunt colorați în negru. Col. Hematoxilină ferică, Heidenhain, ob. 40.

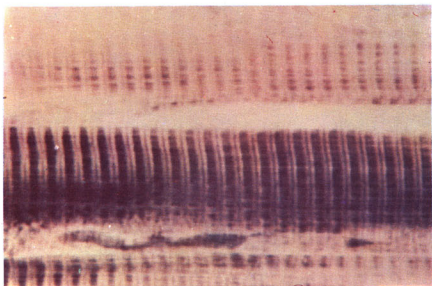
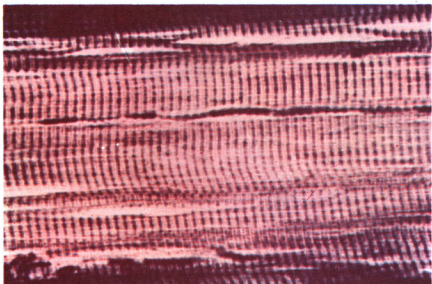
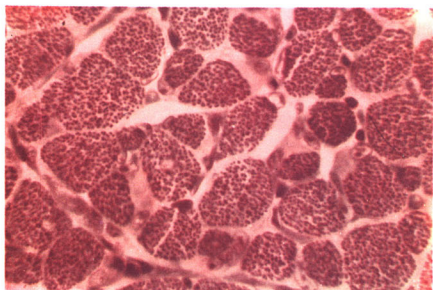
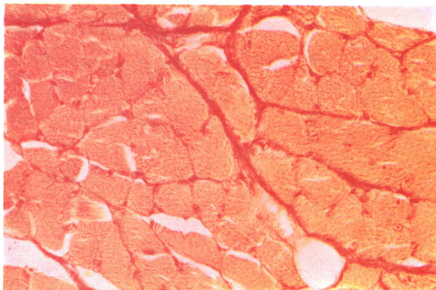


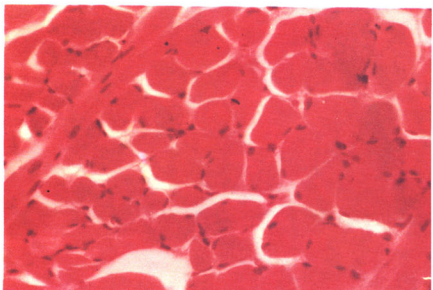
Fig. 54. Fibre musculare scheletale (striate). Col. Hematoxilină ferică, Heidenhain, ob. 63.



*Fig. 55. Tesut muscular scheletal (striat). Nucleii situați la periferie, sarcoplasma de aspect punctiform datorită miofibriilelor secționate transversal. Col. Hematoxilină ferică, Heidenhain, ob. 20.*

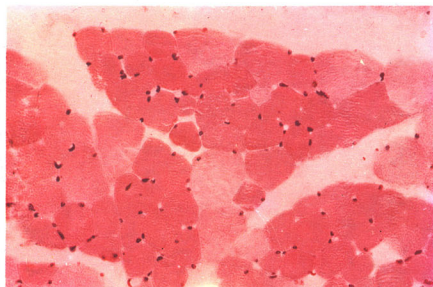
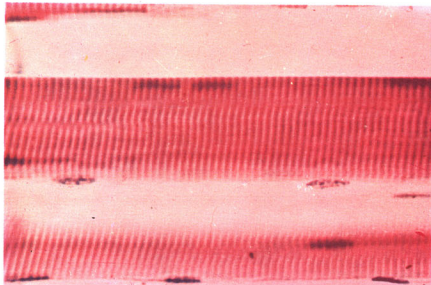


*Fig. 56. Tesut muscular scheletal (striat). Nucleii colorați în negru, citoplasma în galben, colagenul în roșu. Secțiune transversală, col. van Gieson, ob. 20.*

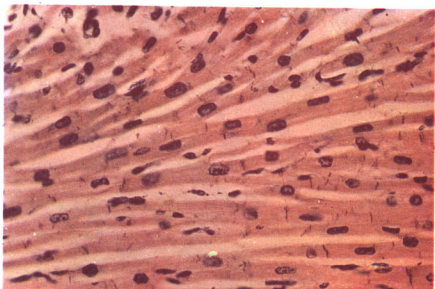


*Fig. 56 A. Tesut muscular striat. Secțiune transversală. Col. H.E., ob. 25.*

*Fig. 57. Fibră musculară scheletală (striată). Nucleii alungiti, situați la periferia sarcoplasmei și striații transversale. Col. H.E., ob. 40.*



*Fig. 58. Ţesut scheletal (striat). Se observă fibrele roșii, albe și intermediare cu nuclei situați periferic și sarcoplasma punctiformă. Secțiune transversală, col. H.E., ob. 10.*



*Fig. 59. Ţesut muscular cardiac. Fibre musculare ramificate cu striații transversale și un nucleu situat central. Discuri intercalare. Col. van Gieson, ob. 20.*

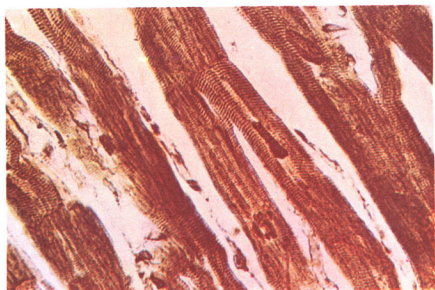


Fig. 60. *Tesut muscular cardiac, capilare printre fibrele miocardice. Impregnare argentică, ob. 20.*



Fig. 61. *Tesut muscular cardiac. Col. H.E., ob. 20.*

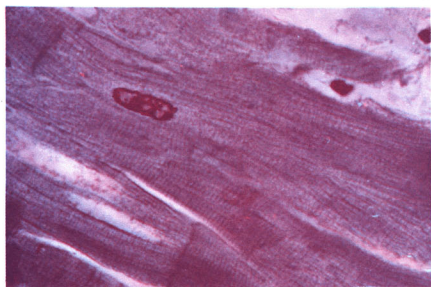
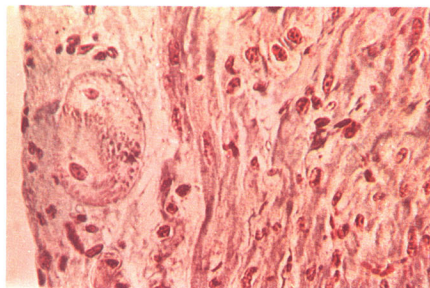
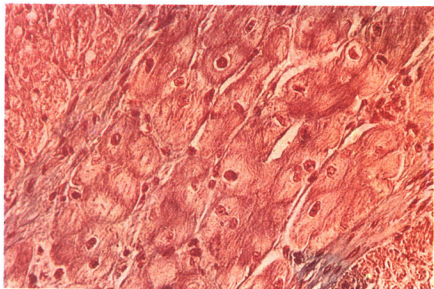


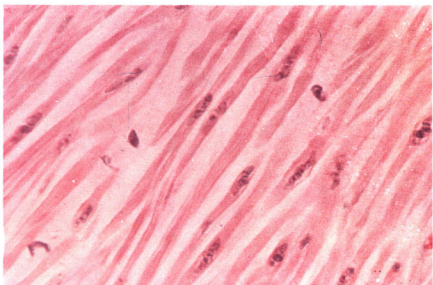
Fig. 61 A. *Tesut muscular cardiac. Col. H.E., albastru de metil ob. 63.*

*Fig. 62. Ţesut nodal.* Celule nodale de talie mare, uninucleate. Ţesutul conjunctiv colorat în albastru delimitază celulele nodale de miocardiocite. Col. H.E., albastru de metil, ob. 20.



*Fig. 63. Celule Purkinje subendo-*  
*cardice.* Col. H.E., albastru de

metil, ob. 40.



*Fig. 64. Ţesut muscular neted.* Fibre musculare netede de aspect fuziform, cu nuclei alungiti situaţi central. Col. H.E., ob. 20.

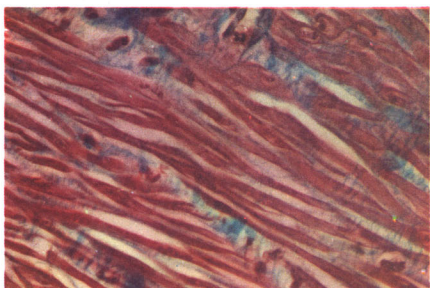


Fig. 64 A. Ţesut muscular neted  
Col. H.E., albastru de metil, ob. 20.

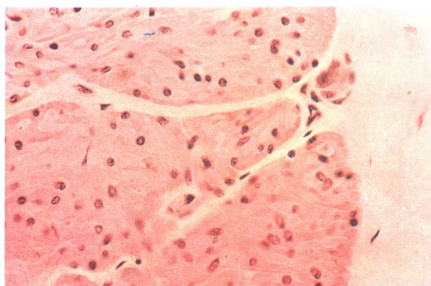


Fig. 65. Muşchi neted, secţiune  
transversală. Col. H.E., ob. 20.

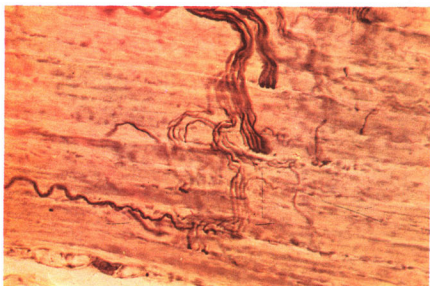
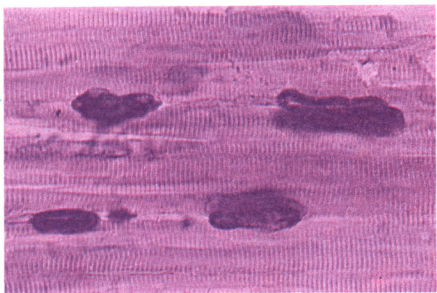


Fig. 66. Muşchi scheletal (striat),  
fibre nervoase şi placă motorie.  
Impregnare argentică, ob. 40.

Fig. 67. Mușchi striat, placă motorie, reacție pentru acetilcolinesterază, ob. 40.



## Țesutul și sistemul nervos

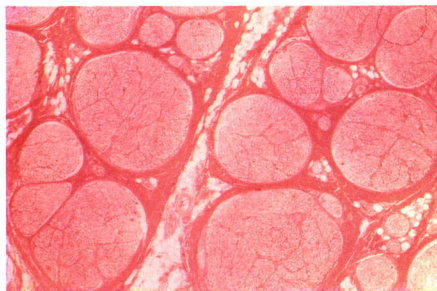


Fig. 68. Nerv periferic. Este înconjurat de trei învelișuri conjunctive: epinevru, perinevru, endonevru; el este format din fibre nervoase alcătuite din axon, teacă de mielină, teacă Schwann și teacă conjunctivă Henle. Secțiune transversală, col. H.E., ob. 10.

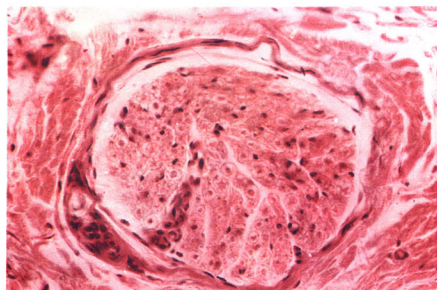


Fig. 69. Fascicul de fibre nervoase înconjurate de perinevru. Secțiune transversală, col. H.E., ob. 40.



Fig. 70. Fibre nervoase disociate. În partea centrală a fibrei se află axonul palid colorat înconjurat de teaca de mielină colorată în negru ce prezintă strangulații (noduri) Ranvier și incizuri Schmidt-Lanterman. Col. tetraoxid de osmu, ob. 20

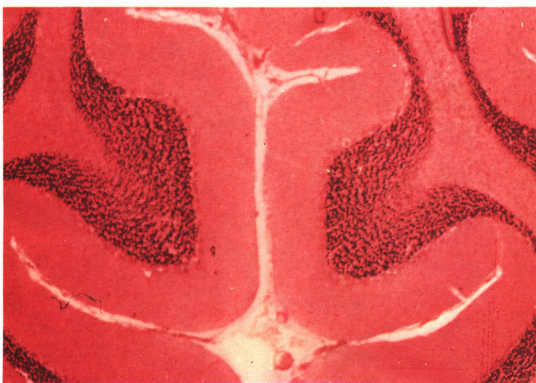


Fig. 71. Cerebel. (Lamelele cerebeloase); lobulii cerebeloși (substanța cenușie) formată din straturi molecular, straturi celulelor Purkinje și straturi granulare. Substanță albă formată din fibre mielinice. Leptomeninge la periferie. Col.H.E., lupă.

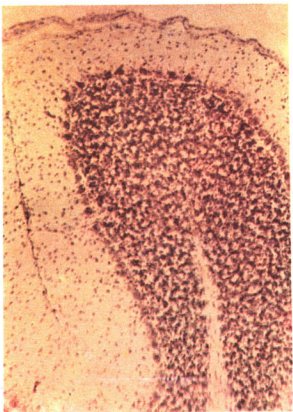


Fig. 72. Cerebel. Col. Nissl. ob. 10.

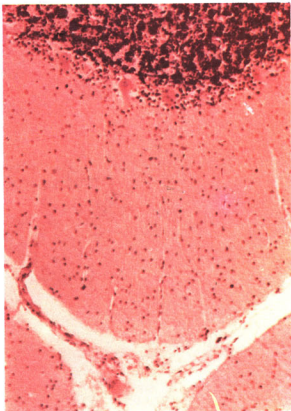


Fig. 73. Scoarță cerebeloasă. Se observă stratul molecular, stratul celulelor Purkinje și stratul granular; leptomeningele la periferie.  
Col. H.E., ob. 20.

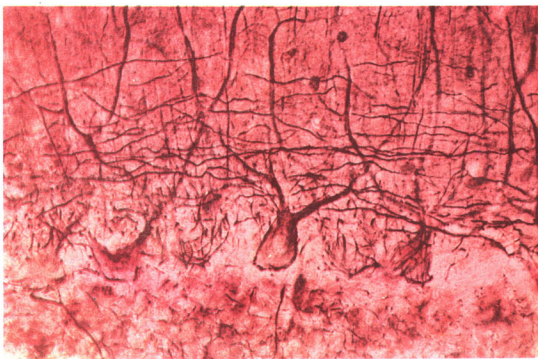


Fig. 74. Scoarță cerebeloasă. Se observă prelungirile neuronale. Apar foarte clar prelungirile dendritice ale celulelor Purkinje. Impregnare-argentică, ob. 40.

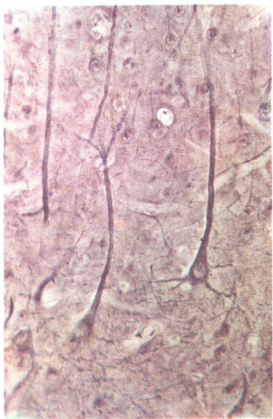


Fig. 75. Scoarță cerebrală. Celule piramidele. Impregnare argentică, ob. 40.

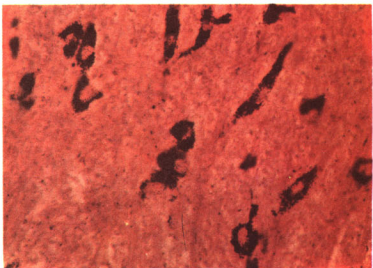
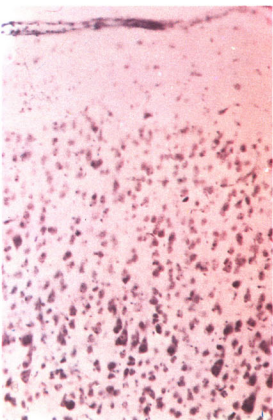
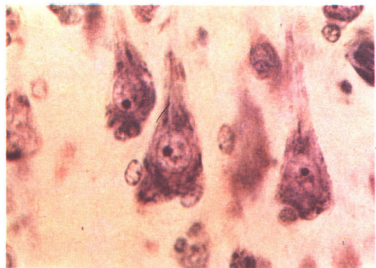


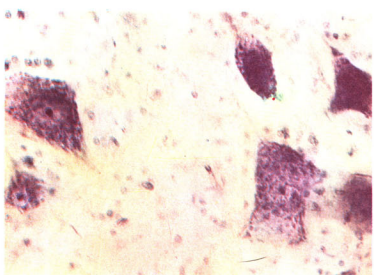
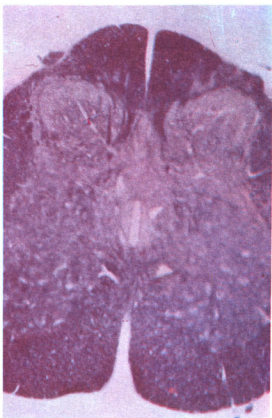
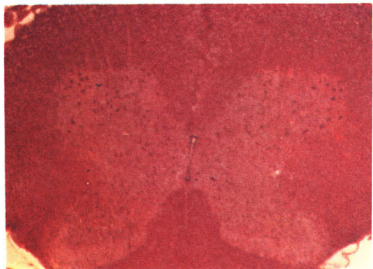
Fig. 75 A. Mezencefal. Celule cu pigment melanic ob. 40.

Fig. 76. Scoarță cerebrală. Celule piramidele. Col. Nissl., ob. 63

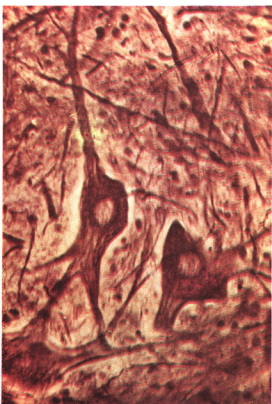


*Fig. 79. Măduva spinării.*  
Secțiune transversală. Col.  
Weigert. Lupă.

*Fig. 78. Măduva spinării.* Substanța  
cenușie situată în centru sub forma  
literei H și substanța albă la periferie.  
Secțiune transversală, col. H.E., lupă.



*Fig. 80. Măduva spinării.* Cornul anterior în  
care se găsesc neuroni multipolari, în  
citoplasma cărora se observă corpii Nissl,  
nucleul clar, veziculos cu nucleoli și pigment  
galben. Col. Nissl., ob. 40.



*Fig. 81. Măduva spinării.* Cornul anterior cu  
neuron multipolar. Se evidențiază prelungirile  
neuronale. Impregnare argentică, ob. 63.

Fig. 81 A. Măduva spinării.  
Impregnare argentică, ob. 40.

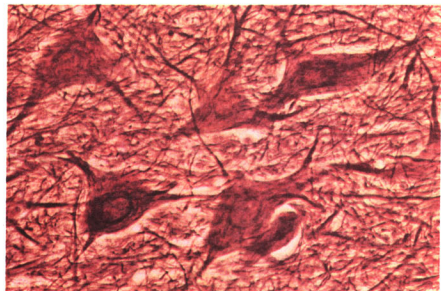
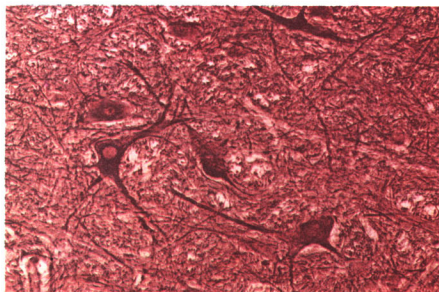


Fig. 82. Măduva spinării. Celule multipolare. Impregnare argen-  
tică, ob. 63.

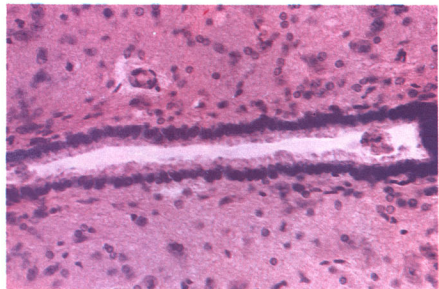


Fig. 83. Măduva spinării. Canal  
ependimal, col. H.E., ob. 20.

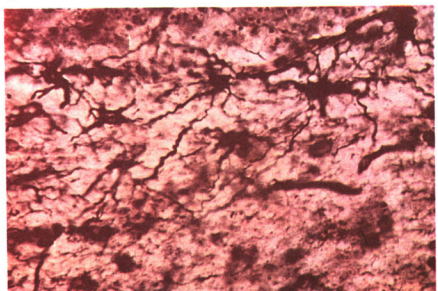


Fig. 85. Celule gliale. Astrocte și capilare sanguine. Interrelații astrocte - vase capilare (bariera hemato-encefalică), impregnare argentică, ob. 40.

Fig. 84. Celule gliale. Astrocte fibroase și protoplasmaticce. Impregnare argentică, ob. 40.

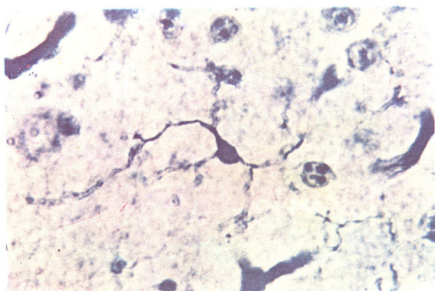


Fig. 86. Celule gliale. Microglie. Impregnare argentică, ob. 63.

Fig. 87. Celule gliale. Oligodendrogliei, impregnare argentica. ob. 63.

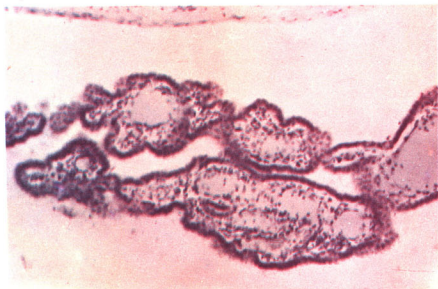
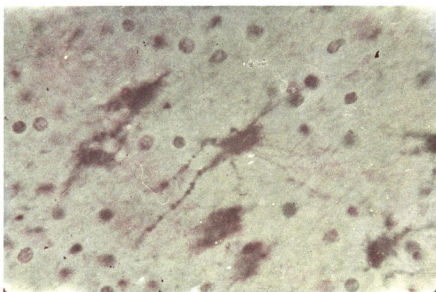


Fig. 88. Plexuri coroide. Col. Nissl., ob. 10.

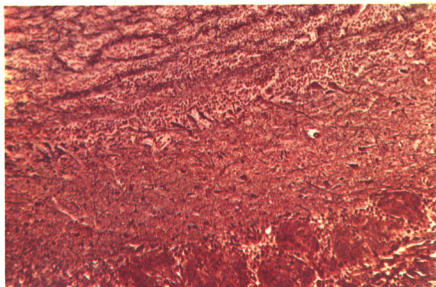


Fig. 89. Bulb olfactiv. Se observă stratul fibrelor olfactive, stratul glomerular, stratul intermediar, stratul celulelor mitrale, stratul granular, stratul fibrelor paralele. Impregnare argentica, ob. 10.

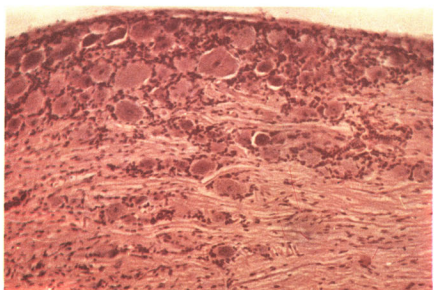


Fig. 90. Ganglion spinal. La periferie se află capsula conjunctivă; sub capsulă zona corticală predominant celulară (celule senzoriale) și zona medulară predominant fibrilară (fibre mielinice). Col. H.E., ob. 10.

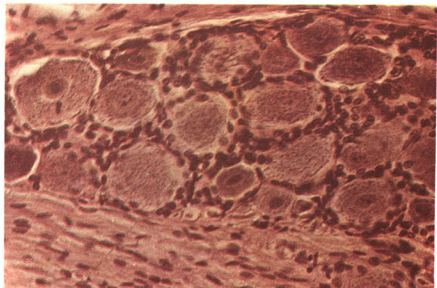


Fig. 91. Ganglion spinal. Col. H.E., ob. 40.

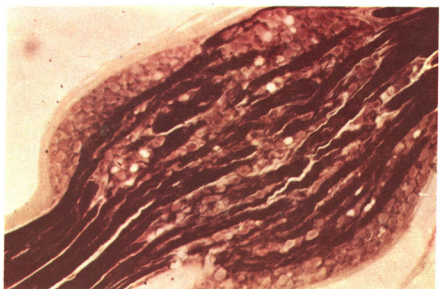
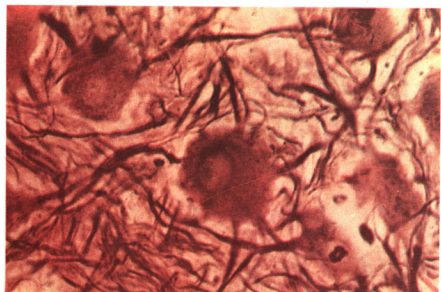
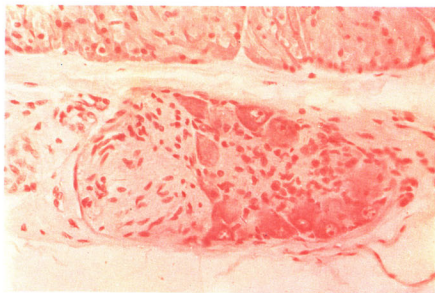


Fig. 92. Ganglion spinal. Impregnare argentică. Lupă.

*Fig. 93. Microganglion vegetativ.*  
Col. H.E., ob. 20.



*Fig. 94. Ganglion vegetativ.*  
Neuroni stelați. Impregnare argen-  
tică, ob. 63.

## Sângele și măduva hematogenă

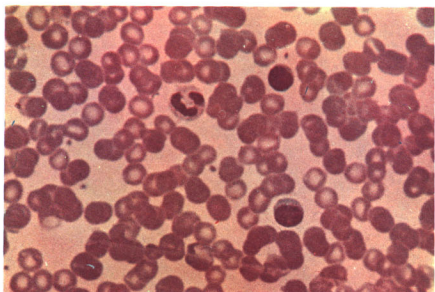


Fig. 95. Frotiu de sânge periferic.  
Eritrocite, două limfocite, un neutrofil și  
trombocite izolate. Col. May -  
Grünwald - Giemsa (MGG), ob. 20.

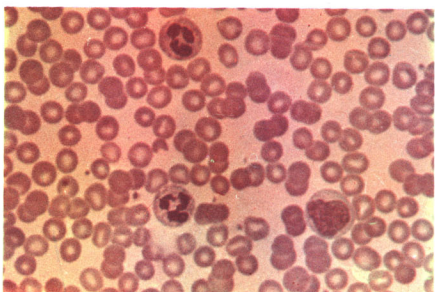
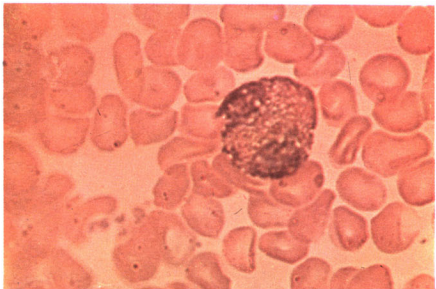


Fig. 96. Frotiu sânge periferic.  
Eritrocite, două neutrofile, un  
monocit. Col. MGG, ob. 20.

*Fig. 97. Frotiu sânge periferic.*  
Eritrocite, eozinofil. Col. MGG.  
Imersie. (ob. 90).



*Fig. 98. Frotiu sânge periferic.*  
Eritrocite, monocit. Col. MGG.  
Imersie (ob. 90).



*Fig. 99. Frotiu sânge periferic.*  
Eritrocite, monocit. Col. MGG.  
Imersie (ob. 90).

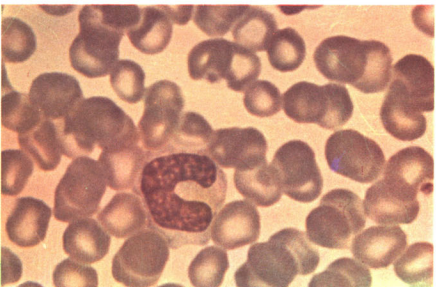




Fig. 100. Frotiu sănge periferic.  
Eritrocite, limfocit și trombocite. Col.  
MGG. Imersie (ob. 90).

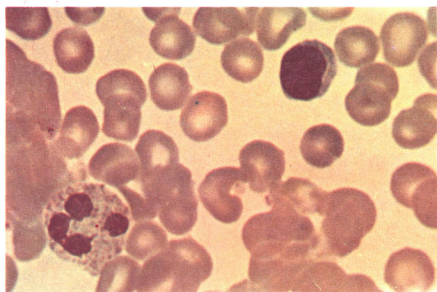


Fig. 101. Frotiu sănge periferic.  
Eritrocite, neutrofil, limfocit. Col.  
MGG. Imersie (ob. 90).

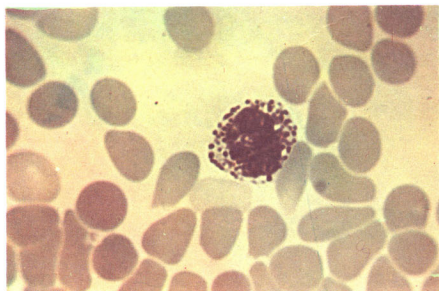
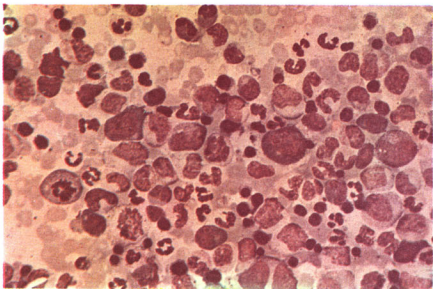
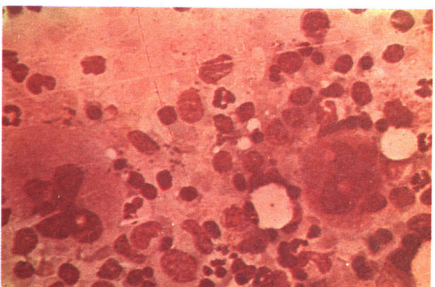


Fig. 102. Frotiu sănge periferic.  
Eritrocite. Bazofil. Col. MGG. Imersie  
(ob. 90).

*Fig. 103. Frotiu sănge periferic.*  
Eritrocite. Bazofil, neutrofil. Col.  
MGG. Imersie (ob. 90).



*Fig. 104. Frotiu de măduvă hematogenă. Imagine de ansamblu.*  
Col. MGG, ob. 25.



*Fig. 105. Frotiu de măduvă hematogenă.* Două megacarioice  
printre celulele precursoare ale seriei  
granulocitare și eritrocitare. Col.  
MGG, ob. 40.

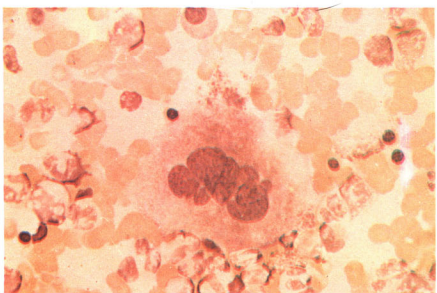


Fig. 106. Frotiu de măduvă hematogenă. Megacariocit trombocitogen. Col. MGG, ob. 40.

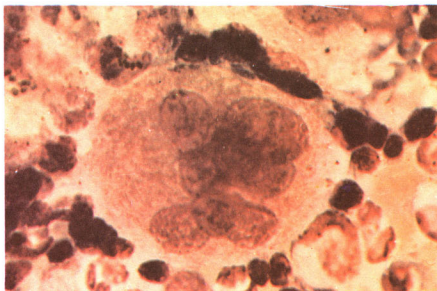


Fig. 107. Frotiu de măduvă hematogenă. Megacarioblast. Col. MGG. Imersie (ob. 90).

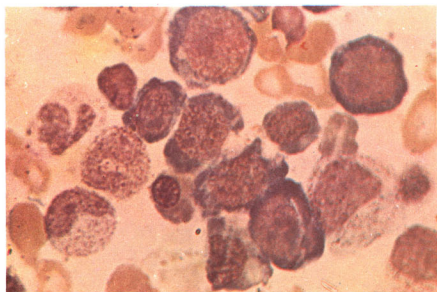
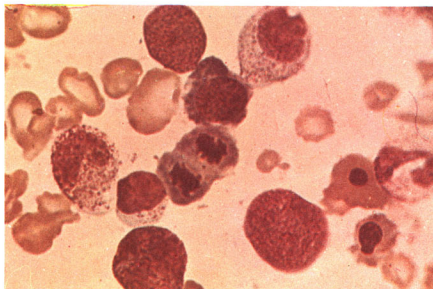
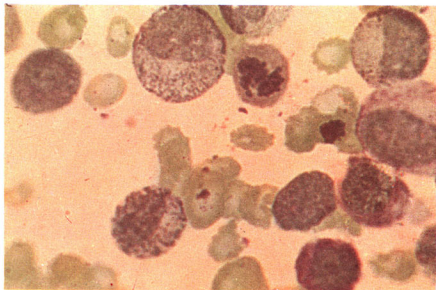
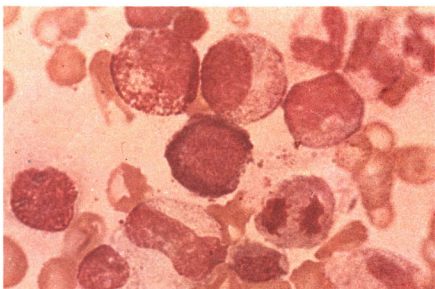


Fig. 108. Frotiu de măduvă hematogenă. Serie eritrocitară, rare elemente din seria granulocitară. Col. MGG. Imersie (ob. 90).

*Fig. 109. Frotiu de măduvă hematogenă. Serie granulocitară și un eritroblast. Col. MGG. Imersie (ob. 90).*



*Fig. 110. Frotiu de măduvă hematogenă. Serie eritrocitară și granulocitară. Eritroblast în anafază târzie. Col. MGG. Imersie (ob. 90).*



*Fig. 111. Frotiu de măduvă hematogenă. Serie granulocitară, Col. MGG. Imersie (ob. 90).*

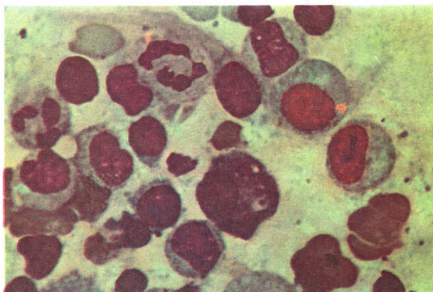


Fig. 111. A. Frotiu de măduvă hematogenă. Serie granulocitară și plasmocite, col. MGK. Imersie, (ob. 90).

## Aparatul circulator

Fig. 112. Capilare, arteriolă și venulă  
(mezenter), col. HE, ob. 10.

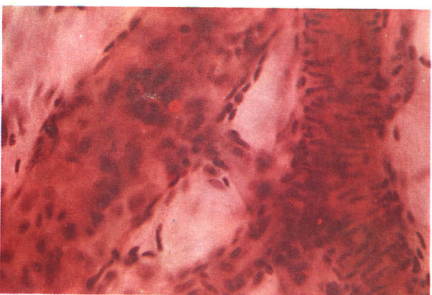
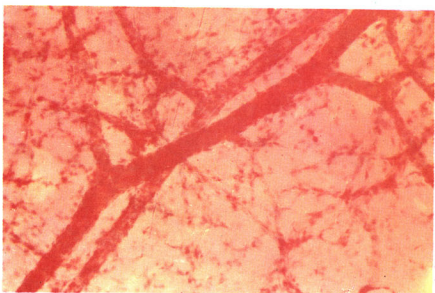


Fig. 112. A. Arteriolă și venulă  
(mezenter), col. HE, ob. 63.

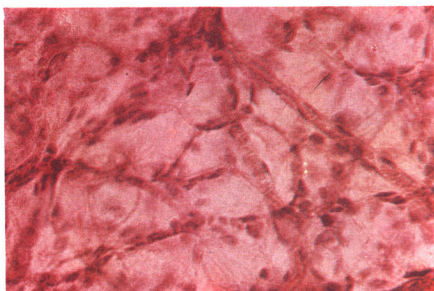


Fig. 113. Rețea capilară, col. HE., ob. 40.

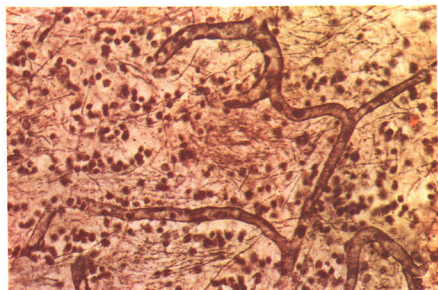


Fig. 113. A. Capilare - impregnare argentică ob. 40.

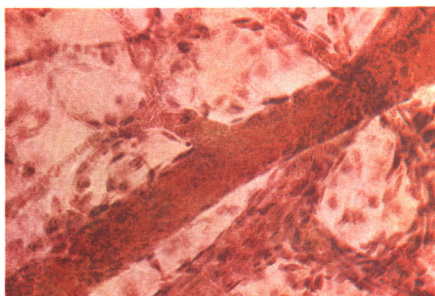
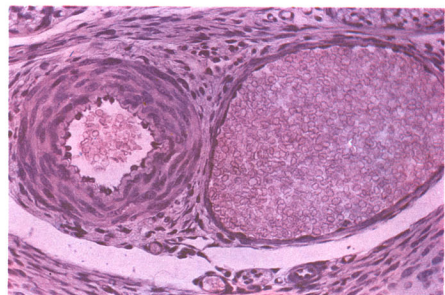
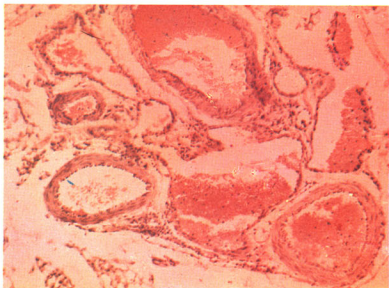
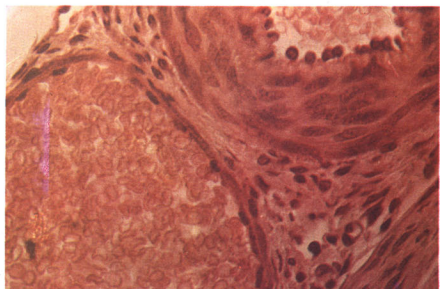


Fig. 114. Arteriolă și venulă. Peretele arteriolei mai bogat în fibre musculare netede în tunica medie, este mai gros decât al venei. Col. HE., ob. 25.

*Fig. 115. Pachet vascular (cordon spermatic), col. HE., ob. 10.*



*Fig. 116. Arteră și venă de calibru mic. Secțiune transversală, col. HE., ob. 25.*



*Fig. 117. Arteră și venă. Col. H.E., ob. 63.*

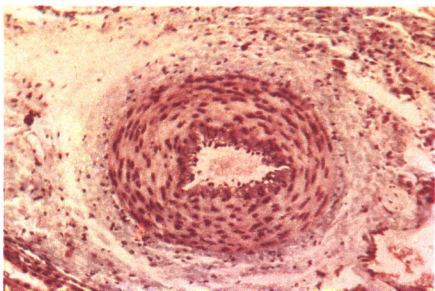


Fig. 118. Arteră de calibră mică.  
Secțiune transversală, col. Masson,  
ob. 25.

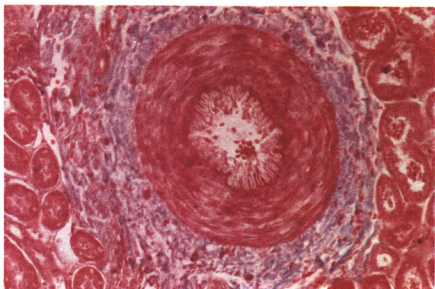


FIG. 118 A. Arteră, col. Azan.

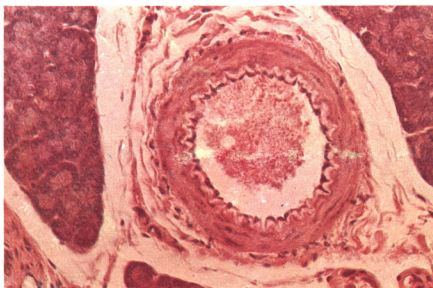


Fig. 119. Arteriolă. Limitanta elastică  
internă ondulată, nicolorată.  
Col. H.E., ob. 25.

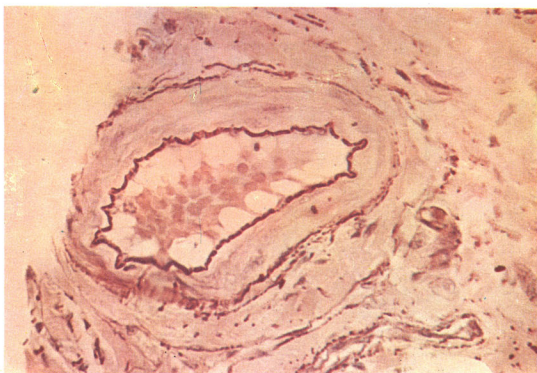


Fig. 120. Arteră de calibră mică. Limitanta elastică internă și externă. Între ele fibrele musculare netede.  
Col. orceină, ob. 25.

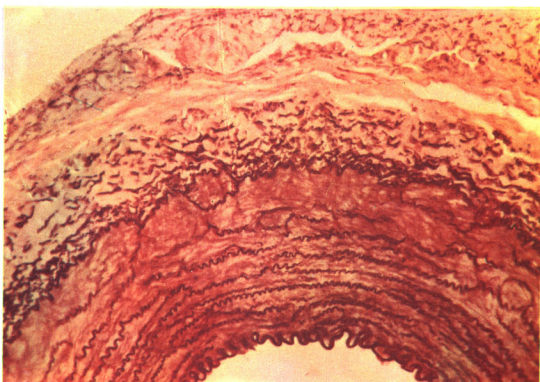


Fig. 121. Arteră de tip muscular. Lame elastice ondulate. Col. orceină, ob. 25.

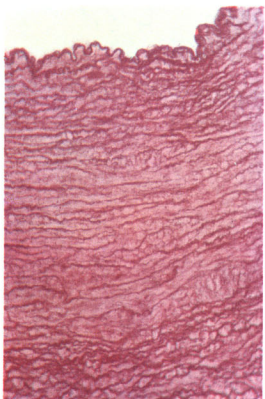


Fig. 122. Aortă. Tunica media conține lame elastice fenestrate colorate în roșu brun închis, dispuse concentric în jurul lumenului. Col. orceină, ob. 25.

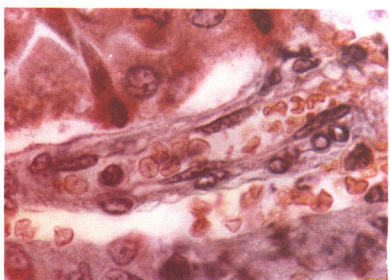


Fig. 123. Venulă. Col. H.E. albastru de metil ob. 90.

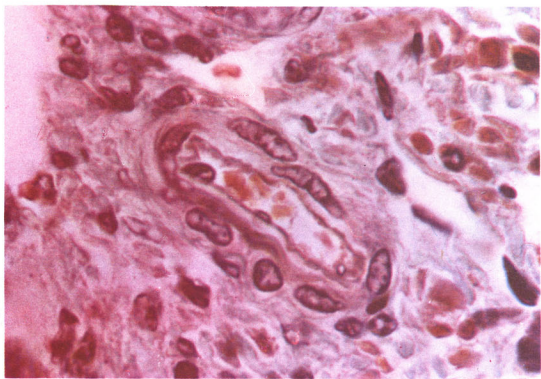


Fig. 123 A. Arteriolă. Col. H.E. albastru de metil ob. 90.

## Organele limfoide

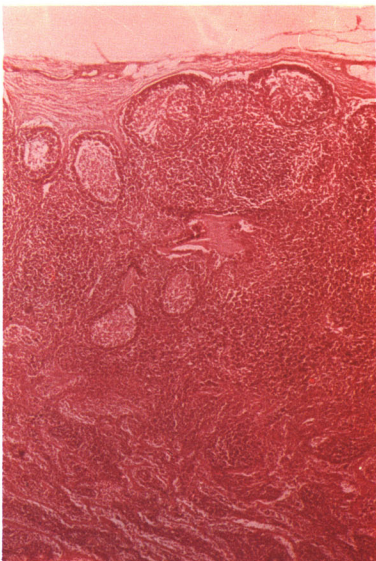


Fig. 124. Ganglion limfatic. La capsulă conjunctivă, zonă corticală subcapsulară și zonă medulară în centrul ganglionului

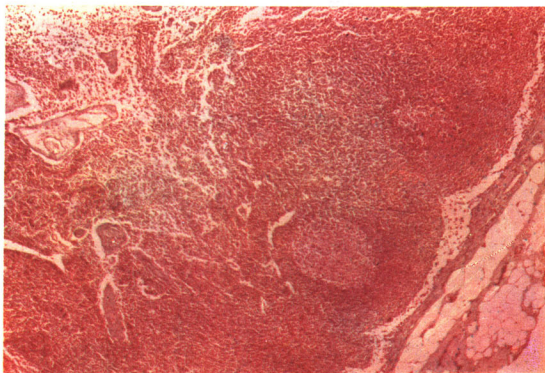


Fig. 124 A. *Ganglion limfatic*. La periferie este înconjurat de capsulă (tesut conjunctiv dens), din care se desprind trabecule conjunctive; sub capsulă este sinusul marginal; ganglionul prezintă o corticală cu foliculi limfatici înconjurați de sinusuri perifoliculare (peritrabeculare) și o medulară formată din cordoane limfaticice și sinusuri cavernoase. Col. H.E., ob. 10.

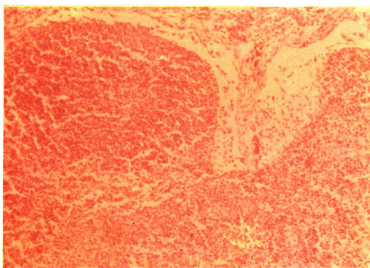


Fig. 125. *Ganglion limfatic*. Corticală, sinus marginal și sinusurile peritrabeculare. Col. H.E., ob. 20.

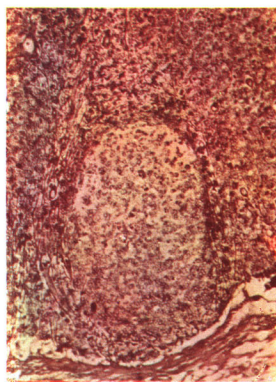
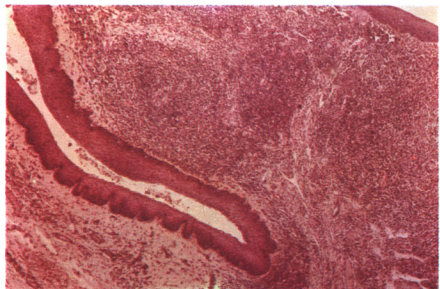
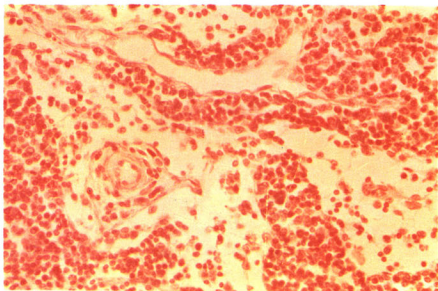
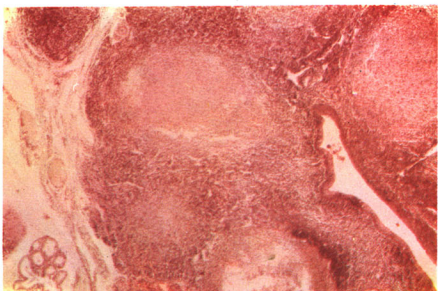


Fig. 126. *Ganglion limfatic*. Capsula conjunctivă la periferie; sinusul marginal; în corticală foliculi limfatici înconjurați de sinus perifolicular, fibre de reticulină. Impregnare argentică, ob. 20.

*Fig. 127. Ganglion limfatic.*  
Medulară formată din cordoane  
limfaticice și sinusuri cavernoase. Sept  
conjunctiv cu arteriolă. Col. H.E.,  
ob. 20.



*Fig. 128. Amigdala palatină.* Cripta  
amigdaliană acoperită de epiteliu de  
tip bucal (pluristratificat pavimentos,  
nekeratinizat). Sub epiteliu, corionul  
cu foliculi limfatici, primari și  
secundari. Col. H.E., ob. 10.



*Fig. 129. Amigdala palatină.* Col. H.E.  
ob. 10.

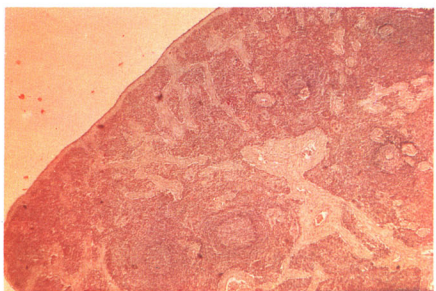


Fig. 130. A. Splina. Capsula conjunctivă la periferie. Pulpa albă și pulpa roșie. Col. H.E., ob. 10.

Fig. 130. Splina. Capsula conjunctivă la periferie. Pulpa albă formată din corpusculii Malpighi și teci folliculare perিarteriale. Pulpa roșie formată din cordoane Billroth și sinusuri venoase. Col. H.E., ob. 10.

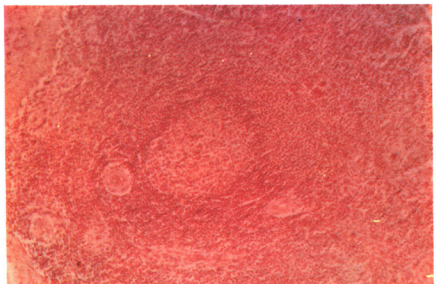
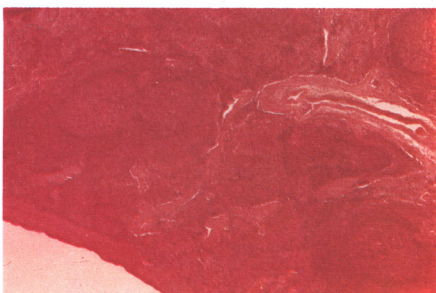
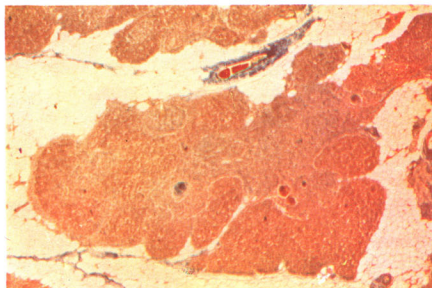
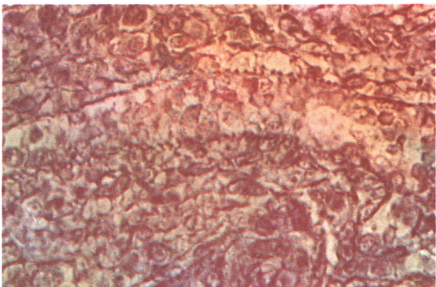
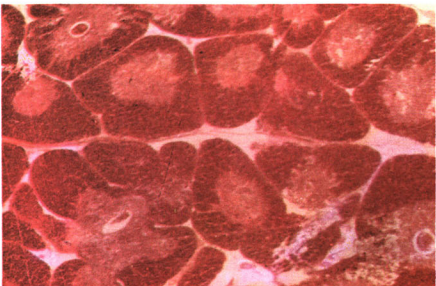


Fig. 131. Splina. Corpusculul Malpighi format dintr-un folicul limfatic secundar și o arteriolă în poziție excentrică. În afara lui se găsesc cordoane celulare din pulpa roșie și un traveu conjunctiv. Col. H.E., ob. 40.

*Fig. 132. Splina.* Rețeaua formată din fibre de reticulină pe care sunt așezate celulele pulpei albe și pulpei roșii, precum și vasele sanguine. Impregnare argentică, ob. 40.



*Fig. 133. Timus.* Imagine de ansamblu. Lobuli timici cu grăsimi perilobulară. Col. H.E. albastru de metil. Lupă.



*Fig. 134. Timus.* Lobuli timici de mărimi și forme diferite, alcătuși din corticală întunecată și medulară clară. Col. H.E., ob. 10.

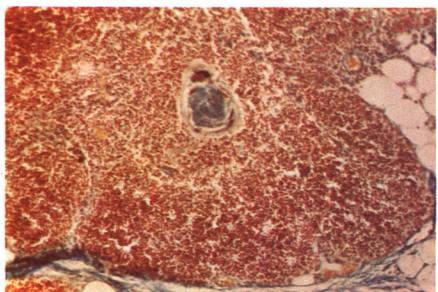


Fig. 135. Timus. Lobul timic; în zona medulară corpusculi Hassall colorați în albastru închis. Col. H.E., albastru de metil, ob. 20.

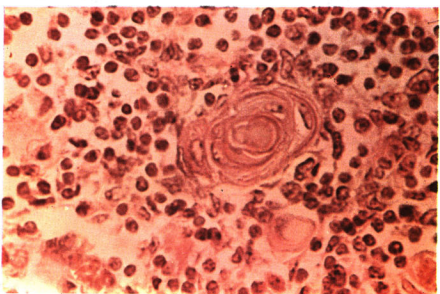


Fig. 136. Timus. Zona medulară cu nuclei de limfocite și celulele reticulare. În centru un corpuscul Hassall.  
Col. H.E., ob. 40.

## Aparatul digestiv

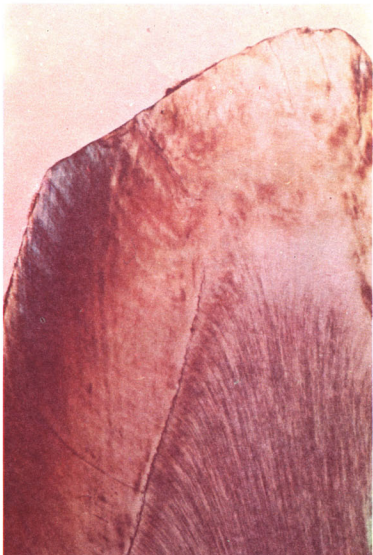
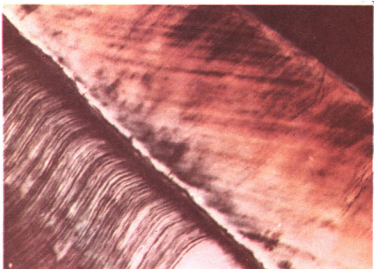


Fig. 137. Dinte uscat și lefuit. La nivelul coroanei se observă smalțul format din prisme adamantine și dentina cu canalicule dentinale. Ob. 10.

*Fig. 139. Dinte uscat și lefuit. La nivelul rădăcinii dentina cu canaliculele dentinale și cementul cu lacune (cementoplaste). Lângă jonctiunea cement-dentină, zonele întunecate reprezintă stratul granular Tomes. Ob. 25.*

*Fig. 138. Dinte uscat și lefuit. Coroană cu smalt. Ob. 40.*



*Fig. 140. Dinte decalcificat. Imagine de ansamblu. Gingie, os alveolar, dentină, pulpă dentală ce prezintă vase sanguine injectate cu tuș de China. Lupă.*

*Fig. 141. Dinte decalcificat. În cavitatea pulpară, pulpa dintelui formată din tesut conjunctiv vascularizat. Injectată cu tuș de China, supricolorare cu H.E., ob. 25.*



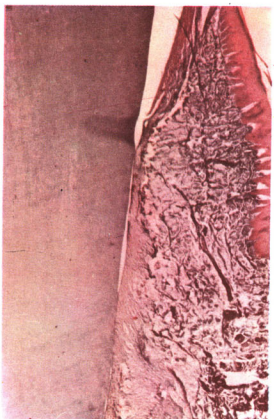


Fig. 142. Dinte decalcificat. Dentina cu componentă organică acoperită de gingie. Mucoasa gingivală formată din epiteliu stratificat pavimentos cu grade diferite de cheratinizare și corion bogat în fibre de colagen dispuse în benzi cu direcții diferite. Ligamentul alveolo-dental (periodontal). Col. H.E., albastru de metil, ob. 10.

Fig. 143. Dinte decalcificat. Un fragment de pulpa dentară la periferia căreia se observă odontoblaste. În țesutul conjunctiv ce formează pulpa dintelui, sunt prezenti nuclei ai celulelor conjunctive și capilare sanguine. Col. H.E., albastru de metil, ob. 25.

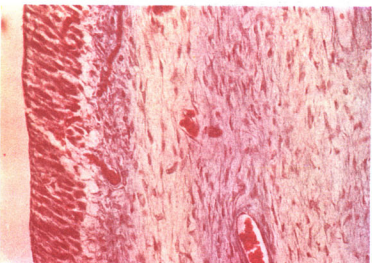


Fig. 144. Dinte decalcificat. Fragment de dentină cu canalicule dentinale paralele între ele, ce conțin fibre Tomes (prelungiri odontoblastice).

Col. H.E., albastru de metil, ob. 90.



Fig. 145. Ligament alveolo-dental (periodontal). Col. H.E., albastru de metil, ob. 25.

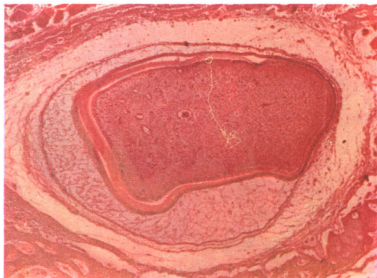


Fig. 146 B. Mugure dental. Secțiune transversală.  
Col. H.E., ob. 10.

Fig. 146 A. Mugure dental în formare. Pulpa dentară și organul smalțului. Col. H.E., ob. 10.

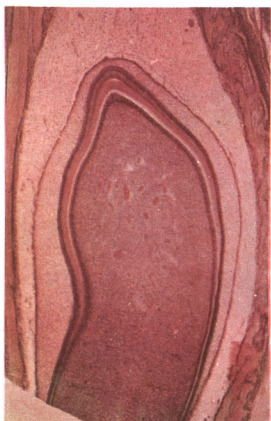
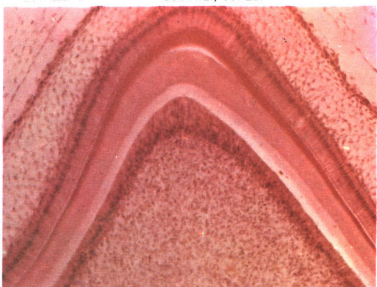
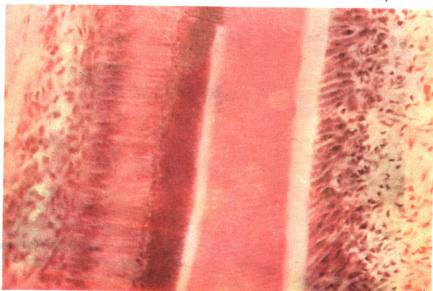


Fig. 146 C. Mugure dental mult evoluat. Pulpa dentară la periferia căreia se află odontoblaste acoperite de predentină; organul smalțului format din ameloblaste, pulpa smalțului și epitelul extern. Col. H.E., ob. 10.

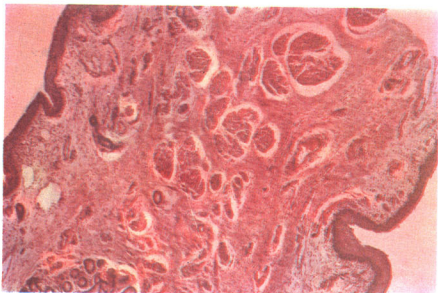
Fig. 147. Mugure dental în evoluție. Pulpa dentară - odontoblaste; predentina gălbuiu; dentina roz; smalț roșu; ameloblastele; pulpa smalțului și epitelul extern.  
Col. H.E., ob. 25.



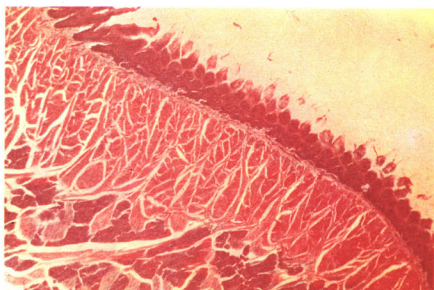
*Fig. 148. Mugure dental: (ameloblaste, smalț dentină, predentină odontoblaste, pulpa dentală).*  
Col. H.E., ob. 40.



*Fig. 149. Buză. Față externă (tegu-ment), față internă (mucoasă), mușchiul orbicular la mijloc.  
Col. H.E., lupa.*

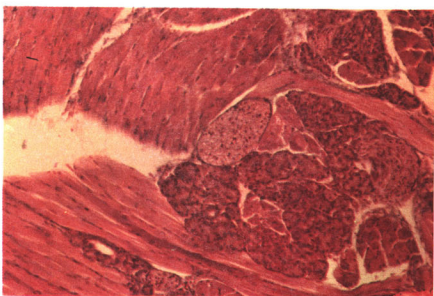


*Fig. 150. Luetă. Mucoasă de tip respirator - posterior (epiteliu pseudostratificat cilindric); mucoasă de tip bucal - anterior (epiteliu stratificat pavimentos cu zone de parakeratoză). La mijloc ax conjunctivo - vascular - muscular.  
Col. H.E., ob. 10.*

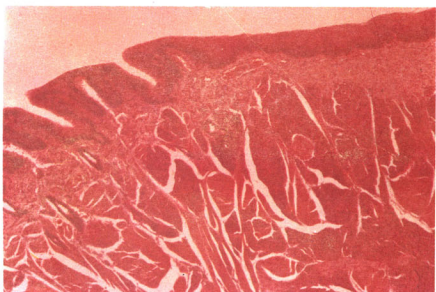


*Fig. 151.* Limbă. Mucoasa linguală dorsală formată din epiteliu stratificat pavimentos moale și corion prezintă papile filiforme. În țesutul conjunctiv glande de tip seros și mucos. Musculatura de tip striat orientată oblic, transversal și longitudinal.

Col. H.E., ob. 10.

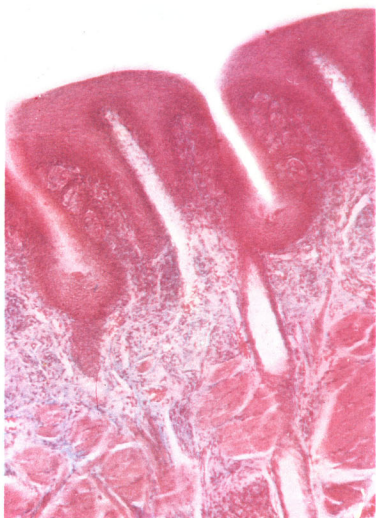


*Fig. 151 A.* Limbă. Musculatura de tip striat orientată oblic, transversal și longitudinal, dispusă în fascicule separate de țesut conjunctiv, ce conține vase sanguine, nervi și glande. Col. H.E., ob. 20.

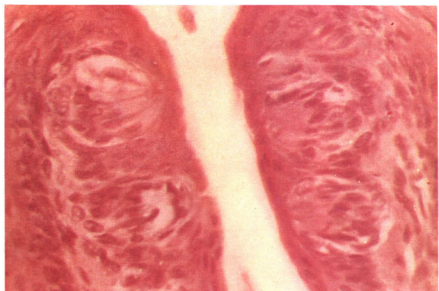


*Fig. 152.* Mucoasă linguală dorsală. În grosimea epitelului papile cu muguri gustativi. Col. H.E., ob. 10.

*Fig. 152 A. Papile foliate cu muguri gustativi,*  
ob. 20 Col. H.E. A.M.

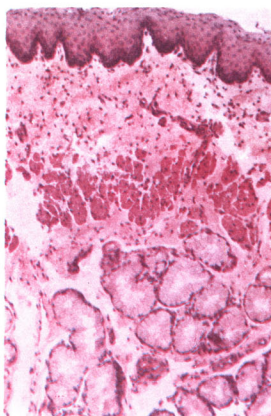
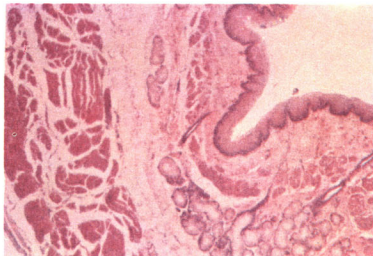


*Fig. 153. Muguri gustativi.*  
Formațiuni rotund-ovale constituite din celule efectoare (senzoriale), de natură epitelială, celule de susținere și celule bazale. Col. H.E. ob. 40.

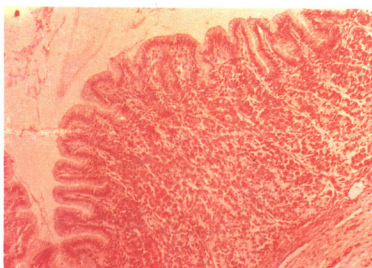
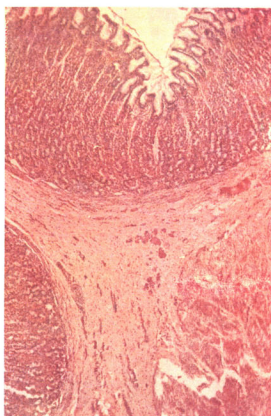


*Fig. 155. Esofag. Mucoasă cu epiteliu, corion și musculatura mucoasei. Submucoasa cu glande de tip mucos. Col. H.E., ob. 20.*

*Fig. 154. Esofag. Mucoasă cu epiteliu stratificat pavimentos necheratinizat (moale) și corion conjunctiv, străbătută de canale excretoare; musculara mucoasei. Submucoasa, formată din țesut conjunctiv lax, conține glande mucoase. Musculatura cu fibre musculare striate și netede. Adventice. Col. H.E., ob. 10.*



*Fig. 156. Stomac. Regiune fundică. Mucoasa cu cripte gastrice, formată din epiteliu simplu cilindric, corion ocupat cu glandele fundice și musculara mucoasei. Submucoasa formată din țesut conjunctiv lax vascularizat. Musculatura. Col. H.E., lupă.*



*Fig. 157. Stomac. Regiune fundică. Mucoasa cu cripte scurte; corionul cu glande mucoase; musculara mucoasei; submucoasa. Col. H.E., ob. 10.*

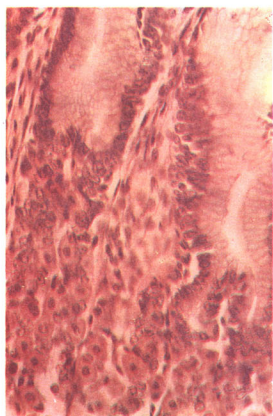


Fig. 158. Mucoasă gastrică. Glande fundice. Col. H.E., ob. 20.

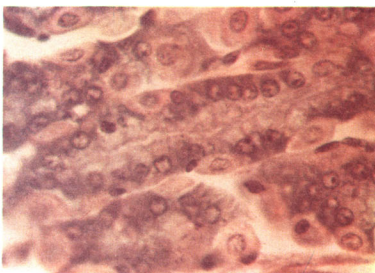
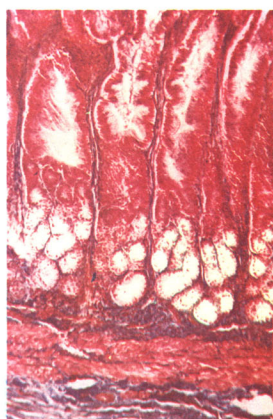
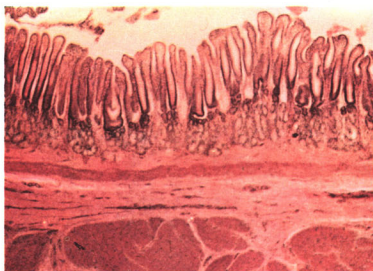
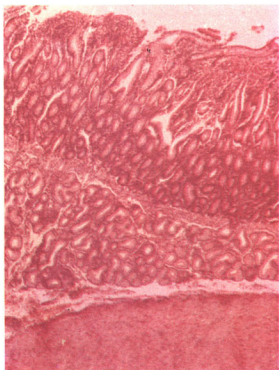


Fig. 159. Glande fundice. Col. H.E., ob. 40.

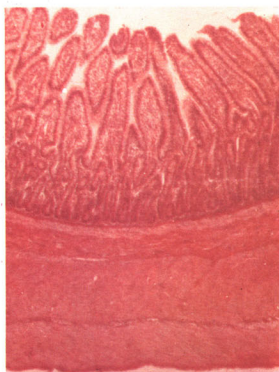
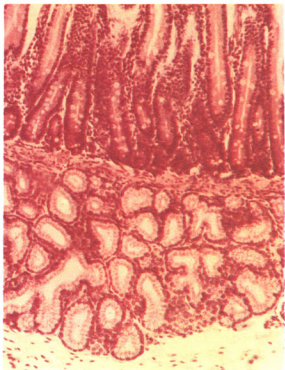
Fig. 161. Mucoasă pilorică. Epiteliu simplu cilindric; corion cu glande pilorice de tip mucos; musculara mucoasei. Col. H.E., albastru de metil. ob. 20.

Fig. 160. Pilor. Col. H.E., lupă.

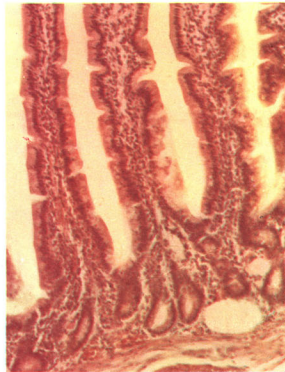




*Fig. 162 și 162 A. Duoden. Corion cu glande Lieberkühn; musculara mucoasei; glande Brunner în submucoasă.*  
Col. H.E., lupă și ob. 20.



*Fig. 163. Jejun. Mucoasa vilozității intestinale, formată din epiteliu simplu cilindric, corion ocupat cu glande intestinale și musculara mucoasei. Submucoasă formată din țesut conjunctiv fără glande. Musculara.*  
Seroasa. Col. H.E. lupa



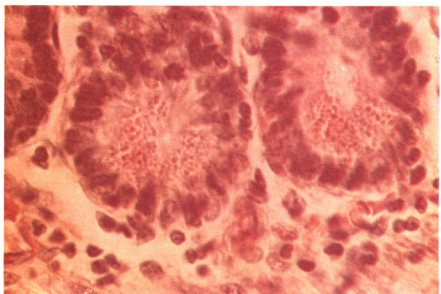
*Fig. 164. Vilozități intestinale. Epitelul simplu cilindric format din celule cu platou striat și celule caliciforme. Axul conjunctivo-vascular.*  
Col. H.E., ob. 10.

*Fig. 165. Vilozitate intestinală.* Epiteliu de tip intestinal. În axul vilozității miofibroblaști, vase sanguine și limfatice. Col. H.E., ob. 20.



*Fig. 166. Glande Lieberkühn,* secțiune transversală. Celule Paneth.

Col. H.E., ob. 40.



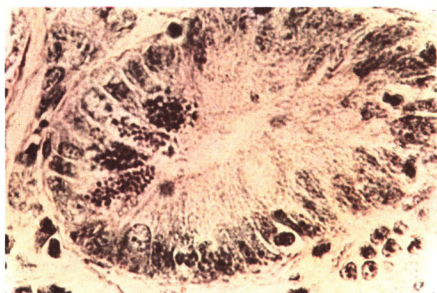


Fig. 167. *Intestin subțire*. Celule Paneth în glandele Lieberkühn, secțiune transversală. Col. hematoxilină ferică. ob. 40.

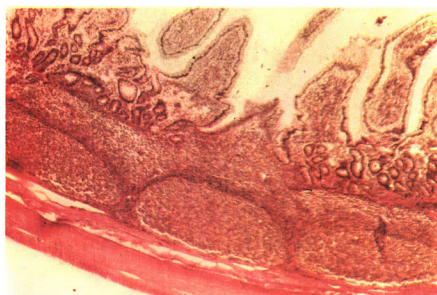


Fig. 168. *Intestin subțire*. (ileum). Plăci Peyer în submucoasă. Col. H.E., ob. 10.

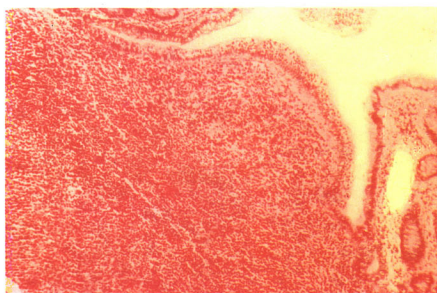


Fig. 169. *Intestin subțire* (ileon). Plăci Peyer (noduli limfatici), în corion și dispariția vilozităților intestinale. Col. H.E., ob. 20.

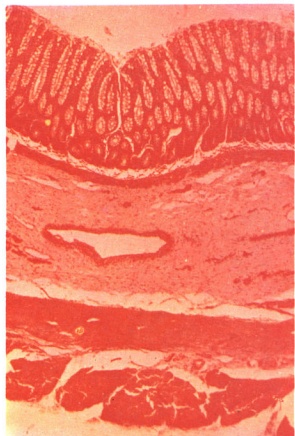


Fig. 170. Colon. Mucoasa fara vilozitati formată din epiteliu simplu cilindric și celule caliciforme, corion cu glande intestinale ce conțin predominant celule caliciforme și musculara mucoasei; Submucoasa; musculara seroasa. Col. H.E., lupă.

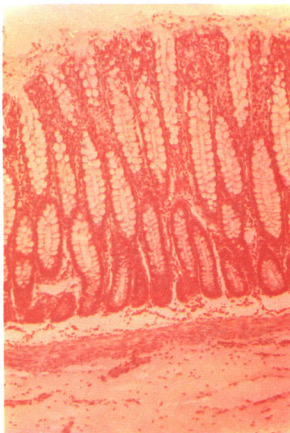


Fig. 171. Colon. Mucoasă și submucoasă. Glande cu multe celule caliciforme. Col. H.E., ob. 10.

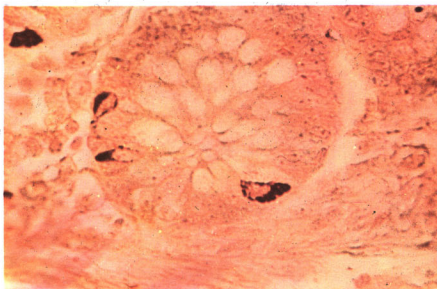


Fig. 172. Colon, secțiune transversală. Celule endocrine din sistemul APUD. Grimelius, ob. 40.

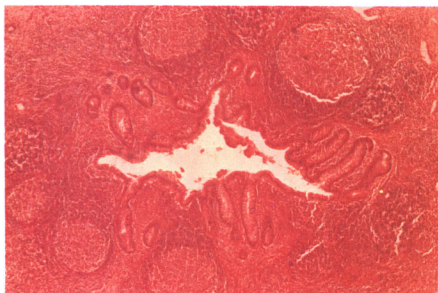


Fig. 173. Apendice. Mucoasa formată din epiteliu simplu cilindric, corion cu glande intestinale și musculara mucoasei întreruptă de infiltratiile limfoide. Submucoasa conține foliculi limfatici primari și secundari. Col. H.E., ob. 10.

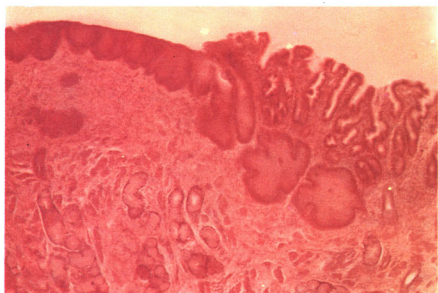


Fig. 174. Joncțiunea recto-anală. Col. H.E., ob. 10.

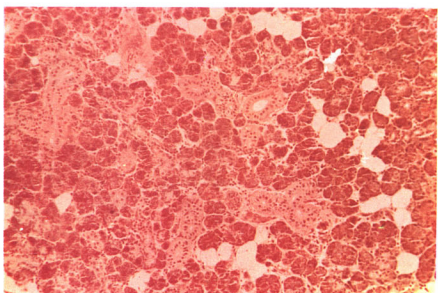
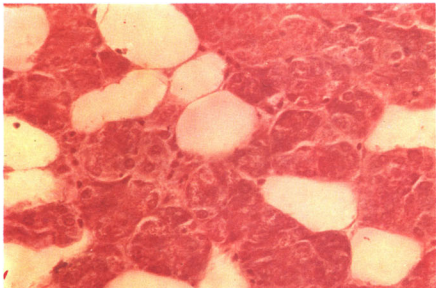
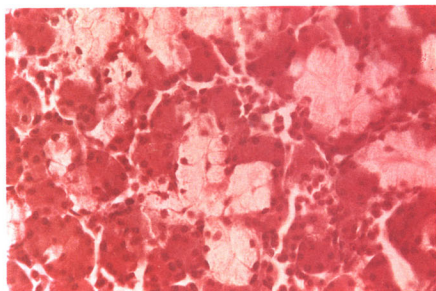


Fig. 175. Parotidă. Acini seroși colorați intens și canale excretoare reprezentate de canale intercalare, canale striate intralobulare și canale interlobulare. Numeroase adipocite. Col. H.E., ob. 10.

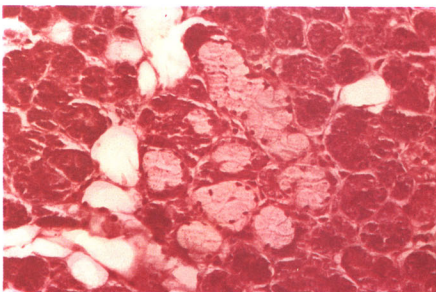
*Fig. 176. Parotidă. Acini seroși și adipocyte. Col. H.E., ob. 25.*



*Fig. 177. Submandibulară. Acini seroși colorați intens, acini seromucoși. Col. H.E., ob. 20.*



*Fig. 177. A. idem, ob. 10, col. H.E.*



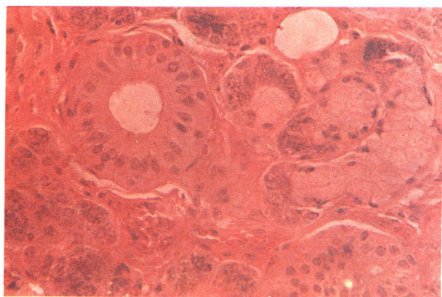


Fig. 178. Submandibulară. Acini seromucoși, canal striat. Col. H.E., ob. 25.

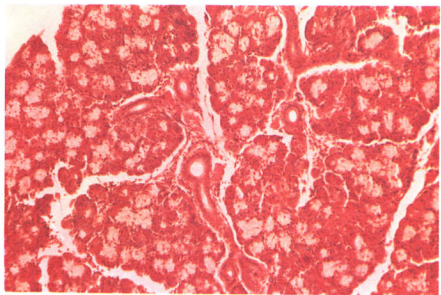


Fig. 179. Sublinguală. Acini mucoși clari, cu lumen larg și cu nuclei turtiți împins la periferia bazală. Canale intercalare mici și canale interlobulare. Col. H.E., ob. 10.

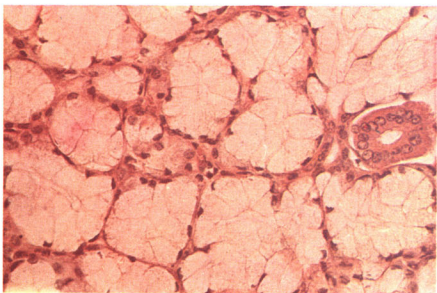
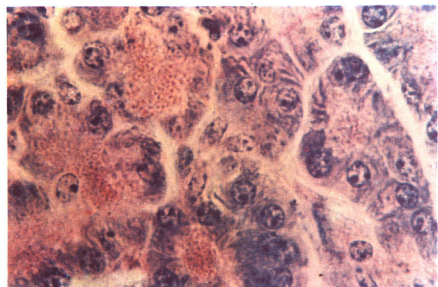
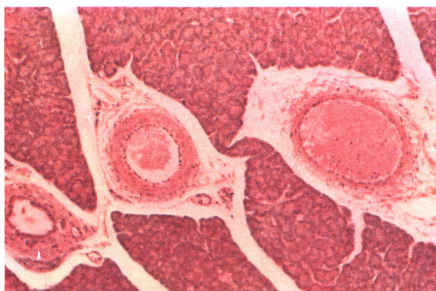


Fig. 180. Sublinguală. Acini mucoși intralobulari și canal excretor. Col. H.E., ob. 25.

*Fig. 181. Pancreas.* Lobuli pancreatici cu forme și mărimi diferite, separați prin septuri conjunctive, ce conțin vase sanguine și canale excretoare interlobulare.

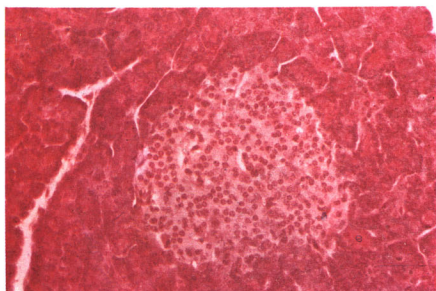
Col H.E., ob. 10.



*Fig. 182. Pancreas exocrin.* Acini seroși formati din celule cu nucleu rotund, situat în treimea bazală, cu nucleol. Citoplasma apicală, acidofilă, conține granule de zimogen, roșii - portocalii. Col. Albastru Victoria - floxină. ob. 63.

*Fig. 183. Pancreas.* Acini seroși și insula Langerhans (componenta endocrină) mai clară, formată din celule endocrine dispuse sub formă de cordoane separate prin capilare.

Col. H.E., ob. 20.



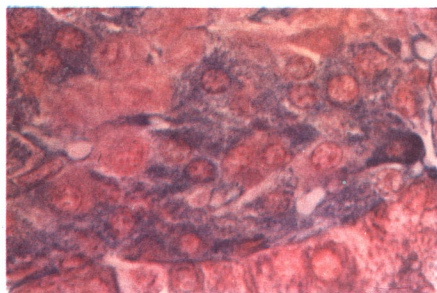


Fig. 184. Pancreas endocrin. Insulă Langerhans cu celule endocrine de tip A cu citoplasma granulară, acidofilă, celule B mai numeroase cu citoplasma bazofilă și un al treilea tip de celule cu citoplasma intens bazofilă. Printre celeule numeroase capilare. Col. Albastru Victoria - floxină, ob. 63.



Fig. 185. Ficat. Lobuli hepatici de formă poligonală, constituite din celule hepatice, capilare sinusoide, vene centrolobulare. Tesutulconjunctiv ce delimitizează lobulii este bine reprezentat, colorat în albastru. Col. H.E., albastru de metil, ob. 10.

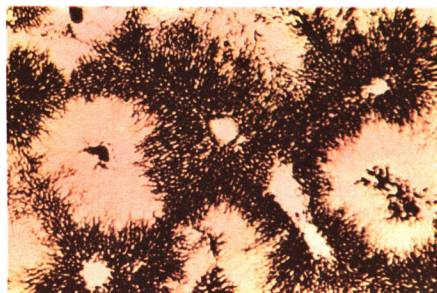
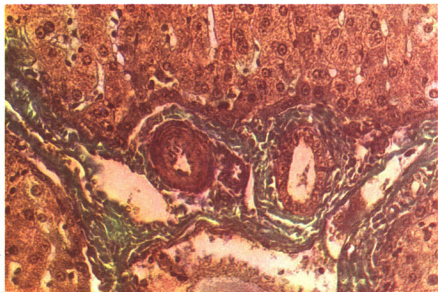
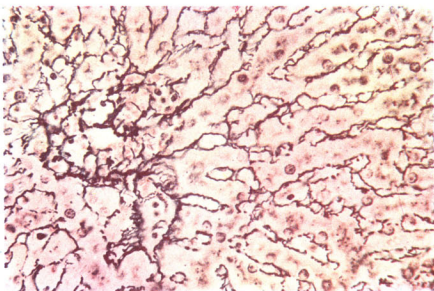
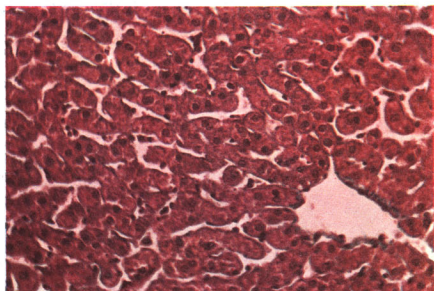


Fig. 186. Ficat. Microvascularizația lobulilor. Injectat arterial cu tuș de China. Ob. 10.

*Fig. 187. Ficat. Fibre de reticulină, colorate în negru. Impregnare argentică, ob. 20.*



*Fig. 188. Ficat. Spațiul porto-biliar. Col. H.E., albastru de metil. ob. 20.*



*Fig. 189. Ficat. Celulele hepatice sunt dispuse sub formă de cordoane ce converg radiar către vena centrolobulară. Între celulele hepatice, spațiile clare reprezintă capilarele sinusoidale. Col. Azan, ob. 20.*

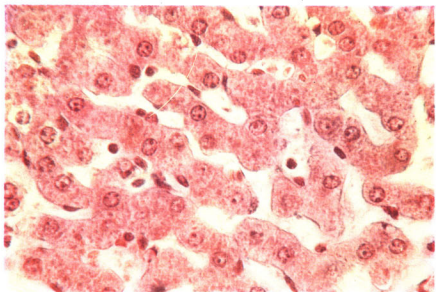


Fig. 190. Ficat. Celule hepatiche uninucleate și binucleate, dispuse în coridoane. Corpuri Berg. Col. H.E., albastru de metil, ob. 40.

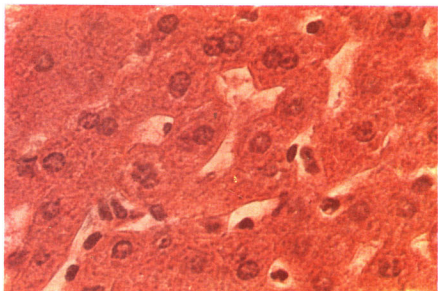


Fig. 191. Ficat. Celule hepatiche uni și binucleate în coridoane. Printre coridoanele de hepatocyte, capilare sinusoide. Col. H.E.. ob. 63.

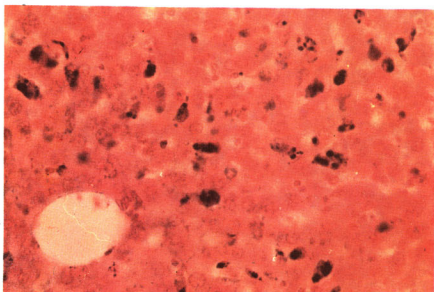
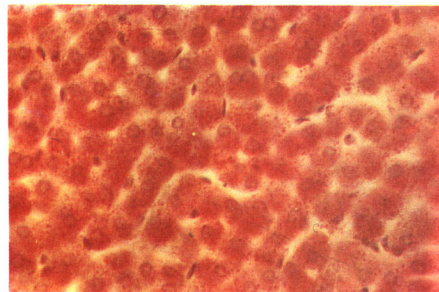
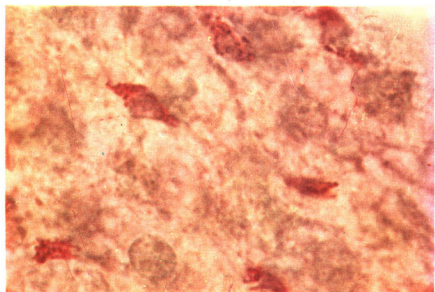
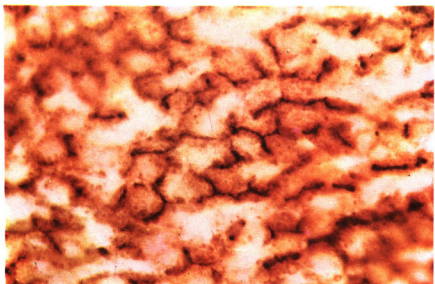


Fig. 192. Ficat. Celulele hepaticе apar colorate în roz cu eozină. Celulele colorate în albastru închis sunt celulele Kupffer care au fagocitat colorantul. Injectat cu albastru de Tripan și supracolorat cu eozină. Ob. 20.

*Fig. 193. Ficat. Celule Kupffer care au fagocitat granule de carmin. Injectat cu carmin și supracolorat cu hemalaum. Ob. 63.*



*Fig. 194. Ficat. Glicogen. Carmin amoniacal Best. Supracolorat cu hemalaun. Ob. 20.*



*Fig. 195. Ficat. Canalicule biliaire intralobulare. ATP-aza. Ob. 40.*

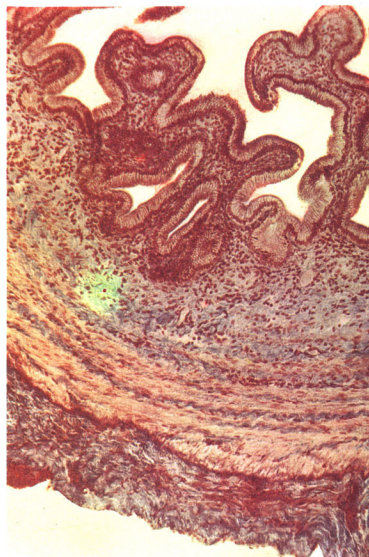


Fig. 196. Vezică biliară. Mucoasa foarte faldurată, formată din epiteliu simplu cilindric și corion; Musculatura; Seroasa. Col. H.E., albastru de metil. Lupă.

## Aparatul respirator

Fig. 197. Trahee, secțiune transversală. Epiteliu pseudostratificat cilindric ciliat; corion cu vase; submucoasa; cartilaj hialin.  
Col. H.E., ob. 10.

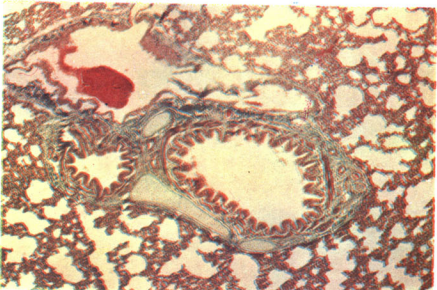
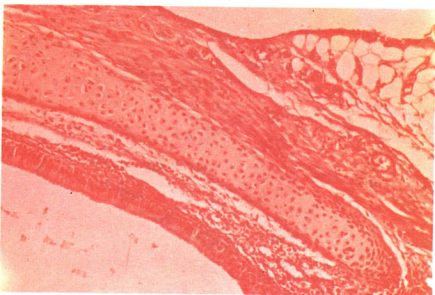


Fig. 198. Plămân. Alveole pulmonare și fragmente de bronchie interlobulară și intralobulară. H.E., albastru de metil, ob. 10.

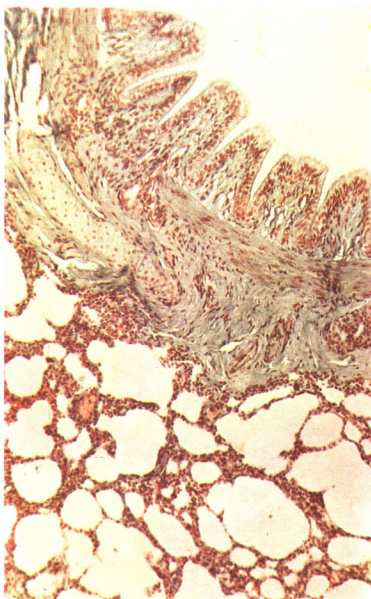


Fig. 199. Plămân. Alveole pulmonare delimitate de septuri conjunctivo-vasculare. Bronhie cu noduli cartilaginoși. Col. H.E., albastru de metil, ob. 20.

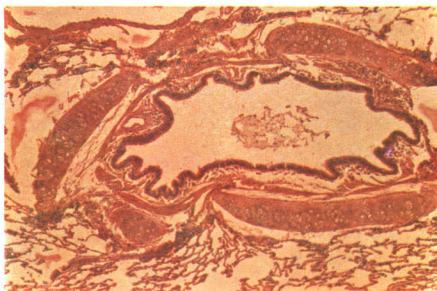


Fig. 200. Plămân. Alveole pulmonare și bronhie extralobulară. Col. H.E., ob. 10.

Fig. 201. Plămân. Bronhiolă terminală, bronholărespiratorie, duct alveolar. Col. H.E., ob. 10.

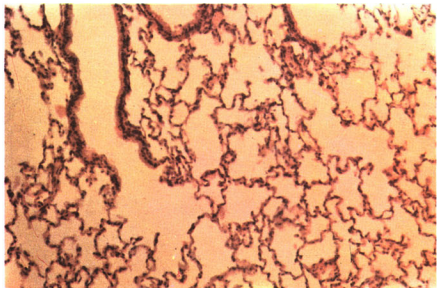


Fig. 201 A. Plămân. Bronhiole intralobulare și ducte alveolare. Col. H.E., ob. 10.

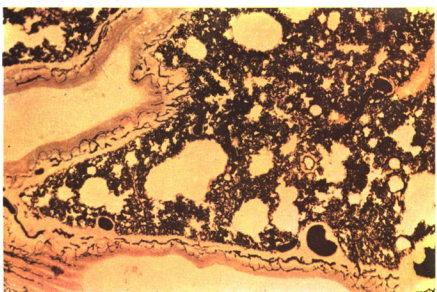


Fig. 202. Plămân. Vascularizația de la nivelul pereților alveolari și capilare sanguine în pereți bronhiilor. Injectat cu tuș de China și supracolorat cu eozină. Ob. 10.

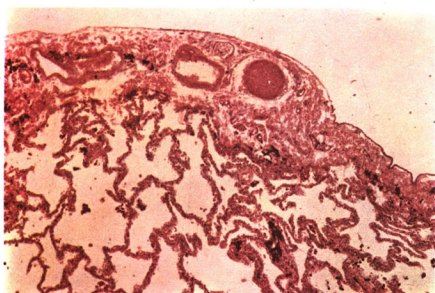


Fig. 203. Plămân. Fragment de plămân; pleură viscerală cu vase limfatice, vase sanguine, nervi, depozite antracotice în pleură și în septurile interlobulare. Col. H.E., ob. 10.

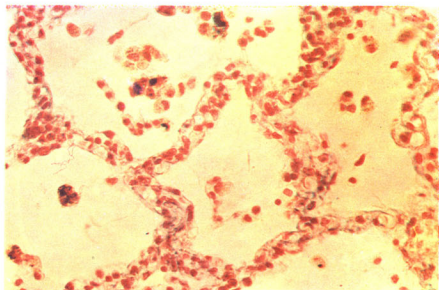


Fig. 204. Plămân. Alveole pulmonare separate prin septuri interalveolare. Lângă lumenul alveolar numeroși nuclei ai celulelor alveolare (pneumocite) de tip I, II și ai macrofagelor alveolare. Col. H.E., ob. 40.

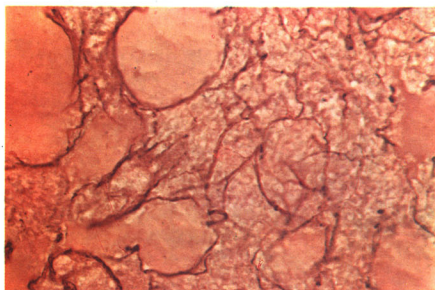


Fig. 205. Plămân. Fibre elastice. Col. orceină, ob. 20., incluzie în celoidină.

## Aparatul urinar

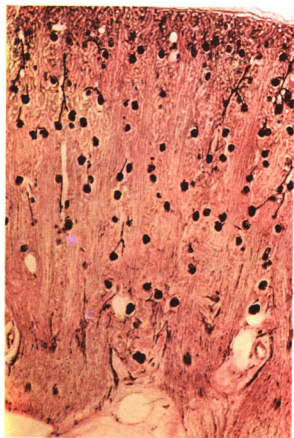


Fig. 206. Rinichi. Corticală, imagine de ansamblu (microvascularizație). Injectat cu tuș de China, supracolorat cu eozină. Lupă.



Fig. 207. Rinichi. Corticală și medulară (microvascularizație). Injectat cu tuș de China, eozină. Ob. 20.

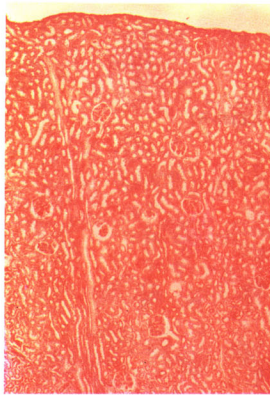


Fig. 208. Rinichi. Corticală, ansamblu; piramide Ferrein, corpusculi Malpighi și tubi contorți.  
Col. H.E., ob. 10.

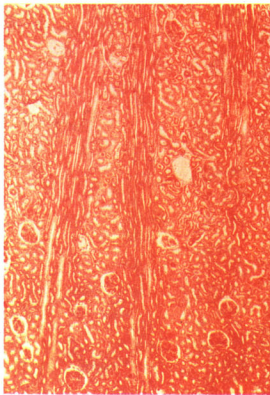


Fig. 209. Rinichi. Piramidele Ferrein și labirint cortical. Col. H.E., ob. 20.

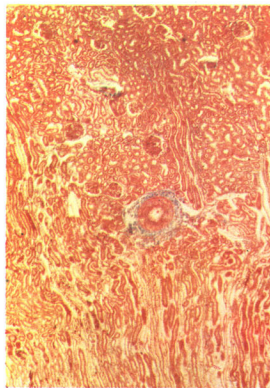


Fig. 210. Rinichi. Joncțiune corticală-medulară.  
Col. Azan, ob. 10.

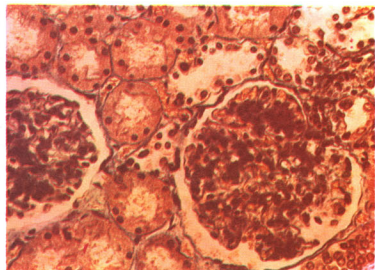


Fig. 211. Rinichi. Doi corpusculi renali Malpighi. Col. Masson,  
ob. 25.

Fig. 212. Rinichi. Corticală; corpuscul renal și tubi contorții. Macula densa. Col. Masson, ob. 63.

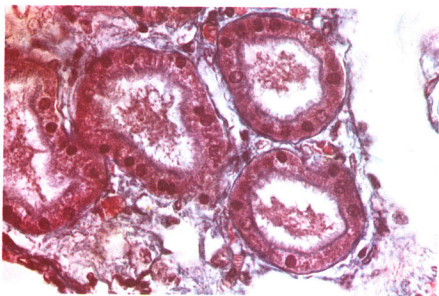
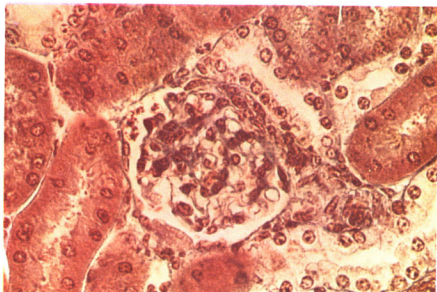


Fig. 212 A. Tubi contorții proximali. Col. Masson, ob. 40.

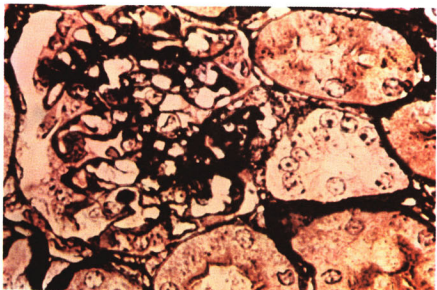


Fig. 213. Rinichi. Membrane bazale. Impregnare argentică. Ob. 63.

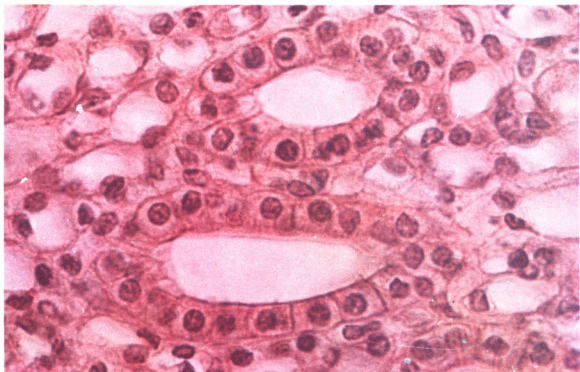


Fig. 214. Rinichi. Medulară. Tubi colectori (Bellini) și anse Henle. Col. H.E., ob. 40.

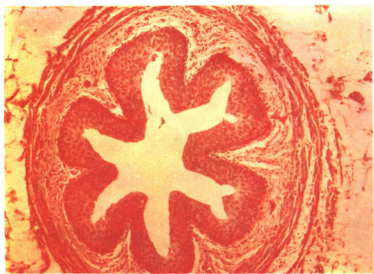


Fig. 215. Ureter. Mucoasă, musculară și seroasă Col. H.E., ob. 10.

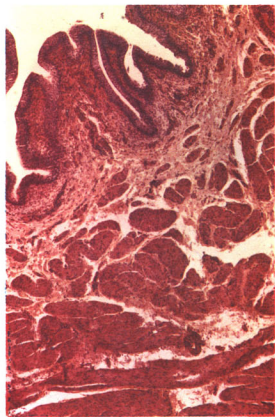


Fig. 216. Vezică urinară. Epiteliu urinar, musculară seroasă. Col. H.E., ob. 10.



Fig. 217. Vezică urinară. Mucoasa prezintă falduri acoperite cu epiteliu polimorf, de tranzitie (uroteliu) și corion. Submucoasa bogat vascularizată.  
Col. H.E., ob. 20.

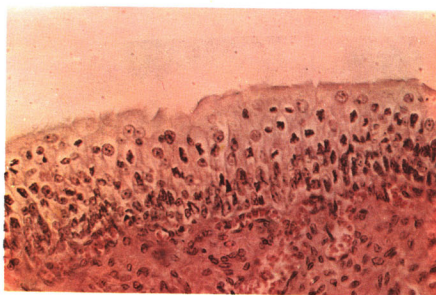


Fig. 218. Vezică urinară. Epiteliu de tranzitie și corion. Col. H.E., ob. 40.

## Glandele endocrine

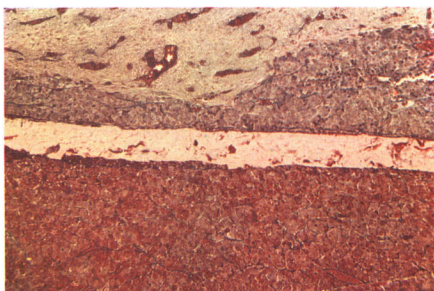


Fig. 219. Hipofiză (glanda pituitară). Imagine de ansamblu cu lob anterior-intermediar, posterior. Col. Azan, ob. 10.

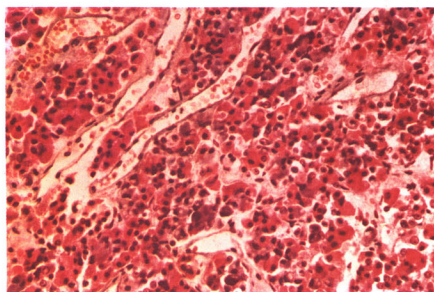
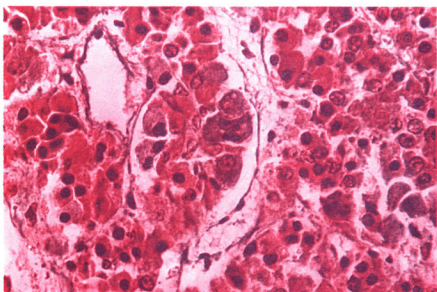
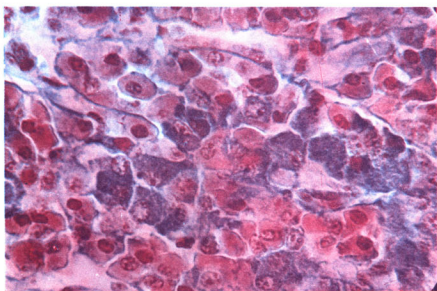


Fig. 220. Hipofiză. Lob anterior. Col. H.E., albastru de metil, ob. 20.

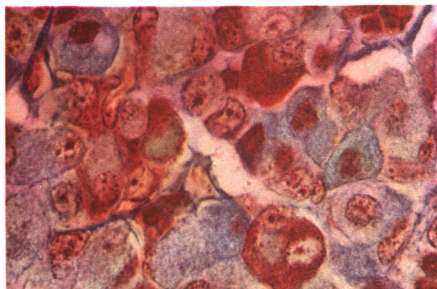
*Fig. 220 A. Hipofiză. Lob anterior.* Cuiburi de celule cromofile (acidofile și bazofile) și rare celule cromofobe. Printre grupurile celulare se observă numeroase capilare. Col. H.E., albastru de metil, ob. 40.



*Fig. 221. Hipofiză. Lob anterior.* Nucleii celulelor apar colorați în roșu, citoplasma celulelor bazofile în albastru. Citoplasma celulelor cromofobe nu se colorează. Col. Azan, ob. 40.



*Fig. 222 A. Hipofiză. Lob anterior.* Col. Azan, ob. 90.



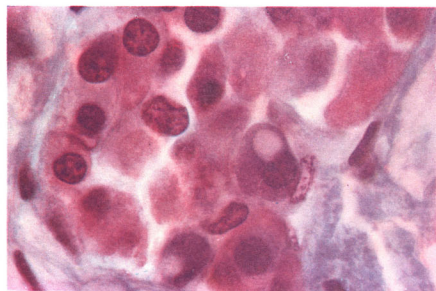


Fig. 222 B. Hipofiză . Lob anterior. Col. H.E., albastru de metil, ob. 90.

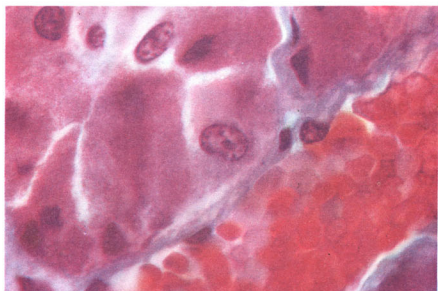


Fig. 222 C. Hipofiză . Lob anterior. Col. H.E., albastru de metil, ob. 90.

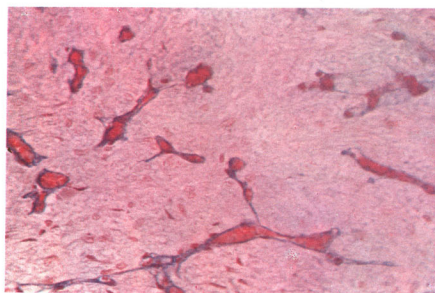
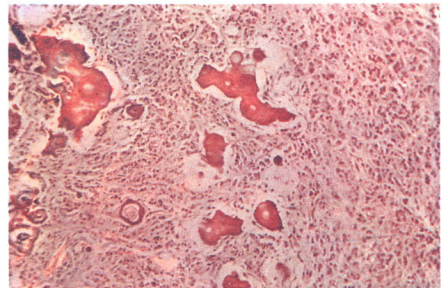
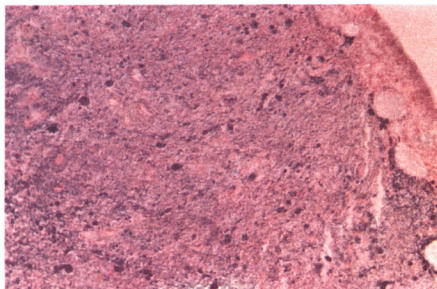
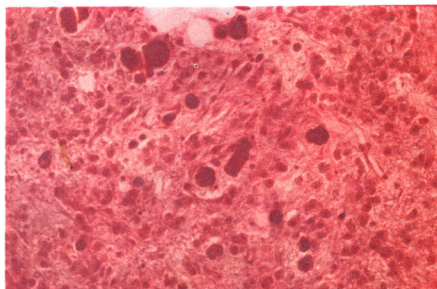


Fig. 223. Hipofiză . Lob posterior. Numeroase capilare sanguine. Col. Azan. ob. 10.

*Fig. 224. Neurohipofiză.* Produsul de neurosecreție apare colorat în negru. Col. Hematoxilină - cromică, floxină, ob. 10.



*Fig. 225. A. Epifiză (glanda pineală).* Nucleii pinealocitelor colorați în roșu. Concrețiiuni calcare colorate în roșu. Col. Azan, ob. 10.



*Fig. 225. B. Epifiză (glanda pineală).* Nucleii pinealocitelor colorați în roșu. Concrețiiuni calcare colorate în roșu. Col. Azan, ob. 20.

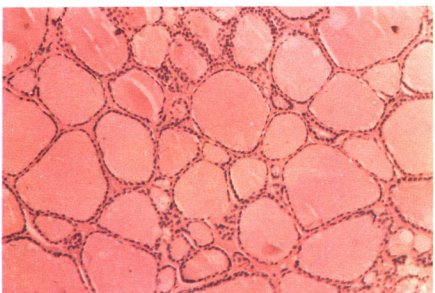


Fig. 226. Tiroidă. Foliculi tiroidieni delimitați de un rând de celule epiteliale cuboidale secretorii. În cavitatea foliculului se află coloidul acidofil. Col. H.E., ob. 10.

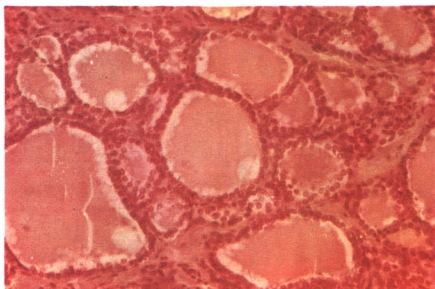


Fig. 227. Tiroidă. Foliculi tiroidieni mărginiti de celule epiteliale cubice. Coloid tiroidian în partea centrală. Printre foliculi stroma conjunctivo-vasculară și celule parafoliculare. Col. H.E., ob. 20.

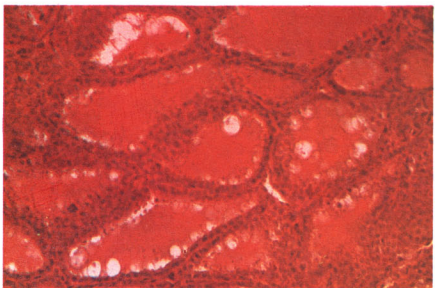
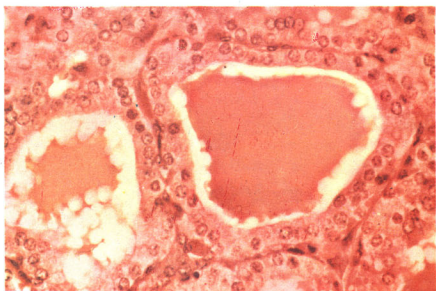


Fig. 228. Tiroidă. Foliculi tiroidieni delimitați de celule epiteliale înalte. Col. H.E., ob. 20.

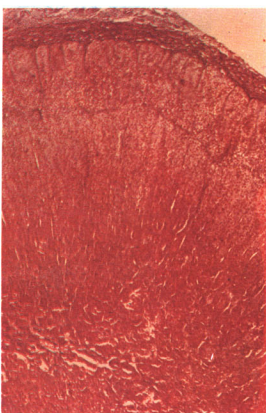
*Fig. 228 A. Tiroidă.* Foliculi tiroidieni delimitați de celule epiteliale înalte. Col. H.E. ob. 40.

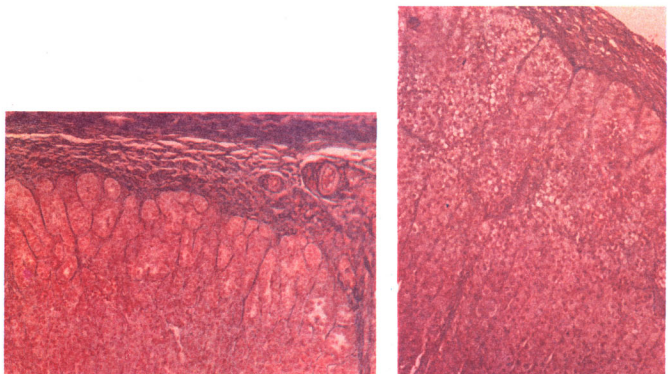


*Fig. 229. Tiroidă.* Foliculi tiroidieni delimitați de celule secretorii turbite. Col. H.E., ob. 40.

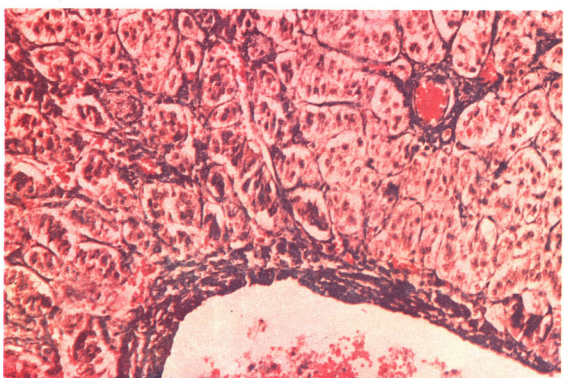


*Fig. 230. Suprarenala.* Imagine de ansamblu. Col. Azan. Lupă.





*Fig. 231 Corticosuprarenala:* A. capsulă și zonă glomerulară ob. 10; B. zonă fasciculată și reticulată Col. Azan, ob. 20.



*Fig. 232 Medulosuprarenala.* Celule mari dispuse în cuiburi, septuri conjunctive albastre. Vase de calibră mare. Col. H.E., albastru de metil, ob. 25.

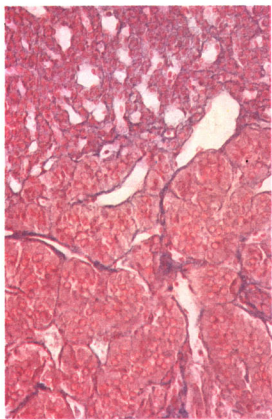


Fig. 233. Medulosuprarenala. Celule dispuse în cuiburi Col. Azan, ob. 25.

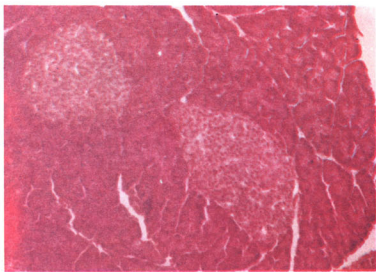


Fig. 234. Pancreas endocrin și exocrin. Imagine de ansamblu. Lobul pancreatic cu două insule Langerhans. Col. H.E., ob. 10.

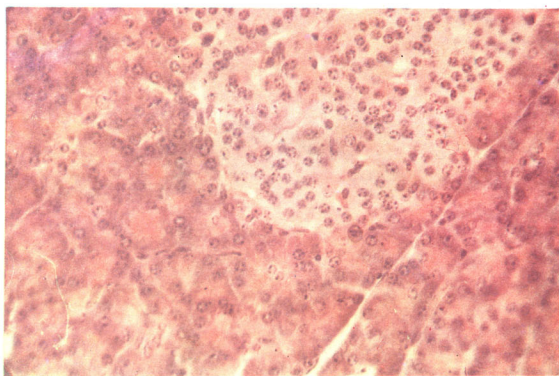


Fig. 235. Pancreas endocrin. Insulă Langerhans înconjurată de acini seroși. Col. H.E., ob. 40.

## Aparatul reproducător feminin

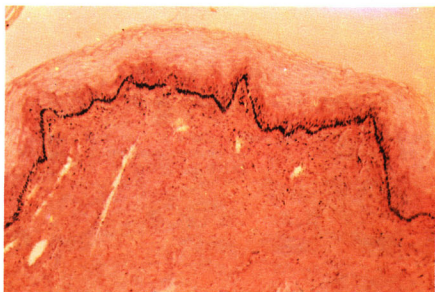


Fig. 236. Vagin. Mucoasă cu epiteliu stratificat pavimentos necheratinizat și lamina propria bogat vascularizată, lipsită de glande. Col. H.E., ob. 20.

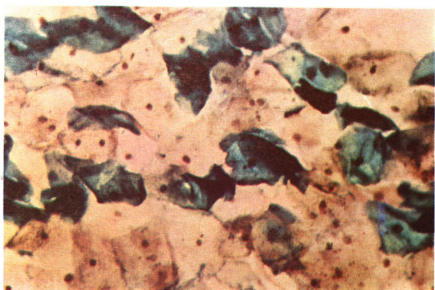


Fig. 237. Frotiu vaginal. Fază foliculinică (estrogenică, proliferativă). Col. Papanicolau, ob. 25.

Fig. 238. Frotiu vaginal. Fază progesteronică (luteală, secretorie). Col. Papanicolau, ob. 25.

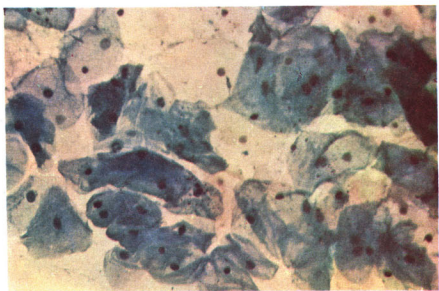


Fig. 239. Uter. Endometru: mucoasă cu epiteliu de acoperire simplu cilindric și corion cu glande; miometru. Col. H.E., ob. 10.

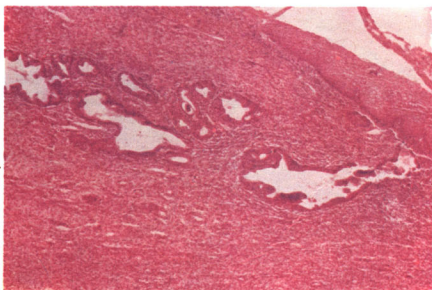


Fig. 239 A. Col uterin. Col. H.E., ob. 10x.



Fig. 240. Endometru. Fază foliculinică. Corionul este bogat celular, iar glandele rotund-ovale, cu contur regulat. Col. H.E., ob. 20.

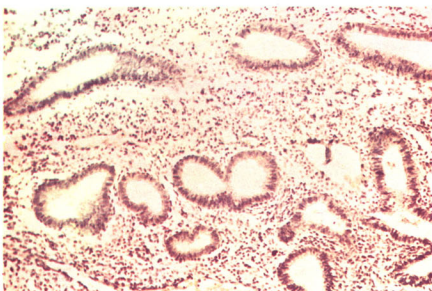


Fig. 241. Endometru. Glande în fază foliculinică. Col. H.E., ob. 20.

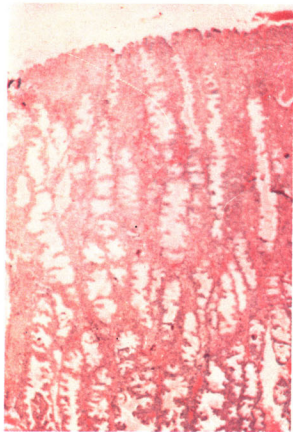


Fig. 242. Endometru. Glande în fază progesteronică. Col. H.E., lupă.

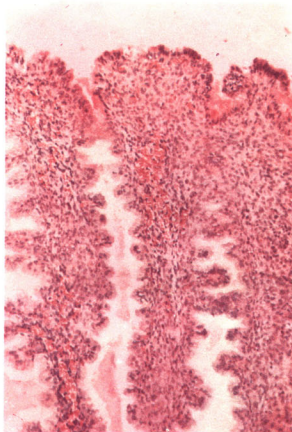


Fig. 243. Endometru. Fază progesteronică (glande în dinți de ferastrău). Col. H.E., ob. 20.

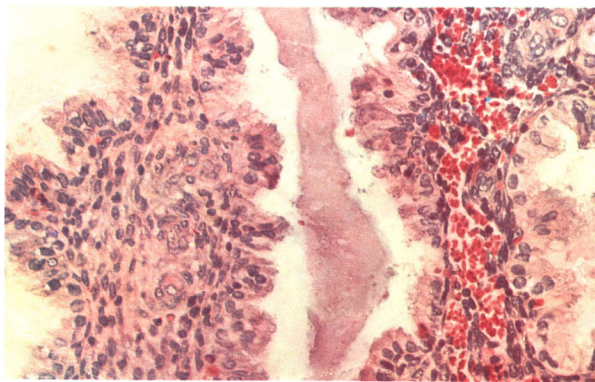


Fig. 244. Endometru. Fază progesteronică. Col. H.E., ob. 40.

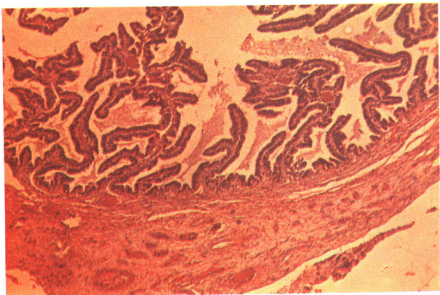


Fig. 245. Trompă uterină.  
Mucoasă cu numeroase falduri,  
epiteliu simplu cilindric și corion;  
pătră musculară netedă bogat  
vascularizată; seroasă. Col. H.E.,  
ob. 10.

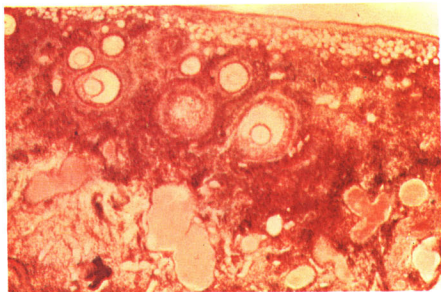


Fig. 246. Ovar. Corticală și  
medulară. În corticală foliculi  
primordiali și evolutivi. În medulară,  
vase sanguine, stroma conjunctivă  
bogat celulară. Col. H.E., lupă.

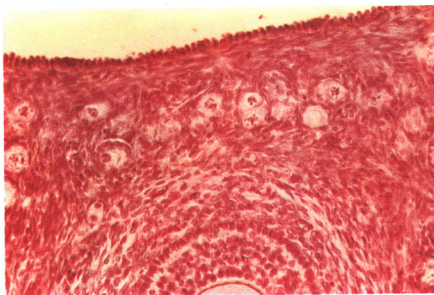
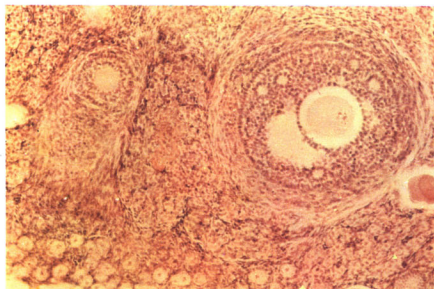
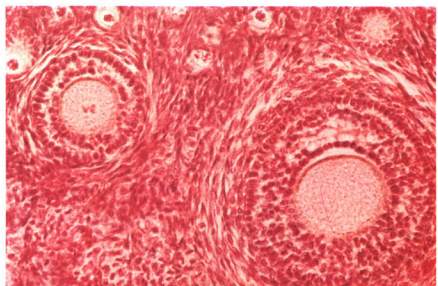
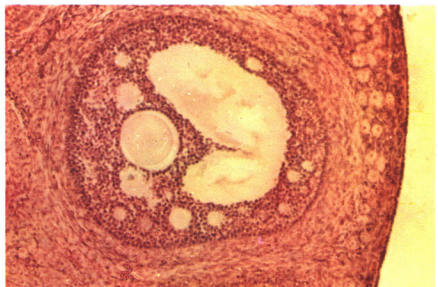


Fig. 247. Corticală, epiteliu de  
acoperire, stroma conjunctivă,  
bogat celulară cu foliculi primordiali  
și folicul evolutiv.  
Col. H.E., ob. 20.

*Fig. 248. Ovar. Corticală cu foliculi primordiali, primari și foliculi secundari, înconjurați de tecile folliculare. Col. H.E., ob. 20.*



*Fig. 249. Ovar. Corticală cu foliculi primordiali primari și secundari ce prezintă cavitate foliculară incipientă (antrum). Col. H.E., ob. 10.*



*Fig. 250. Ovar. Corticală; foliculi primordiali și folicul matur De Graaf. Col. H.E., ob. 10.*

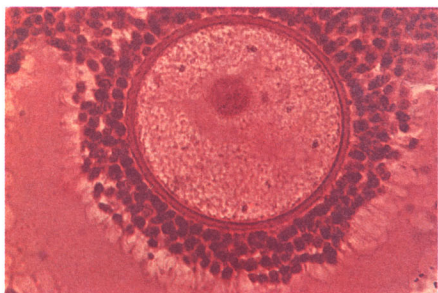


Fig. 251. Ovar. Ovocit în folicul matur. Col. H.E., ob. 63.

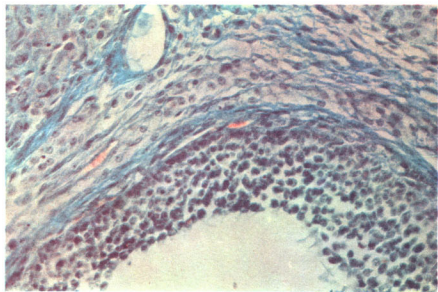


Fig. 252. Ovar. Fragment de folicul matur cu celule foliculare înconjurat de teaca internă și externă. Col. H.E., albastru de metil, ob. 20.

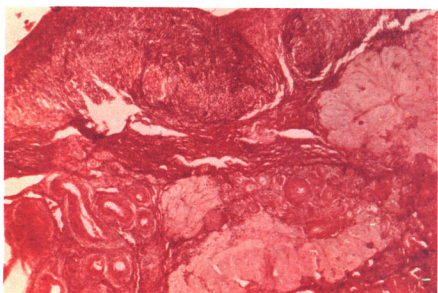
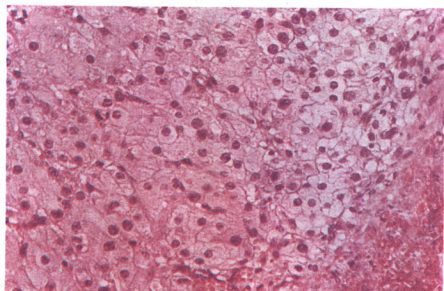
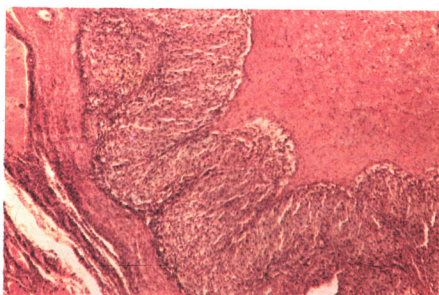


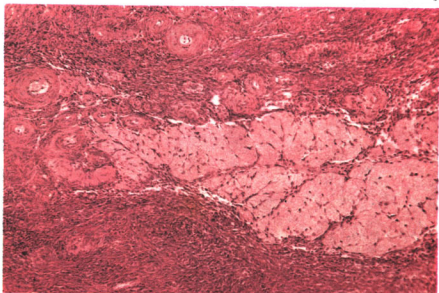
Fig. 253. Ovar. Imagine de ansamblu. Stromă conjunctivă cu vase sanguine, corp progestativ (luteal), corp albicans. Col. Tricromă, lupă.

*Fig. 253 A. Ovar. Corp galben în formare, ob. 10. Col. Tricromă.*



*Fig. 253 B. Ovar. Corp galben (progestativ), ob. 40. Col. H.E.*

*Fig. 254. Ovar. Corp albicans în stroma ovariană conjunctivă bogat celulară și vascularizată. Col. H.E., ob. 10.*



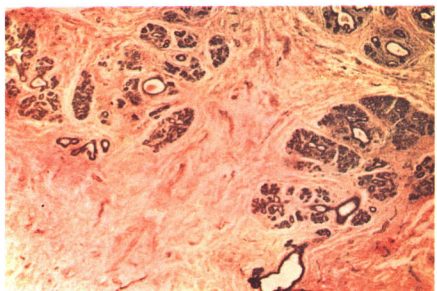


Fig. 255. Glandă mamară în repaus. Lobuli glandulari, ţesut conjunctiv interlobular, ducte excretorii. Col. H.E., lupă.

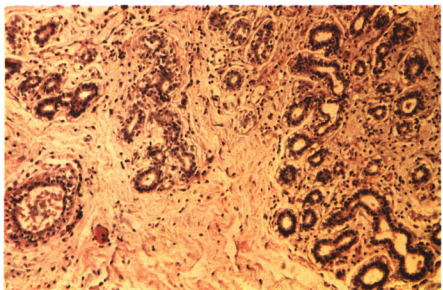


Fig. 256. Glandă mamară. Lobuli glandulari înconjurați de ţesut conjunctiv dens. Intralobular ţesut conjunctiv lax cu acini secreteori și canale excretoare ușor dilatate. Col. H.E., ob. 10.

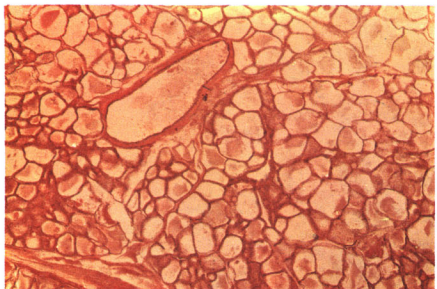


Fig. 257. Glandă mamară în lactație. Col. H.E., ob. 10.

Fig. 258. Glandă mamară în lăcație. Col. H.E., ob. 40.

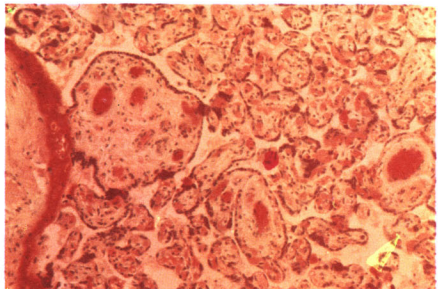
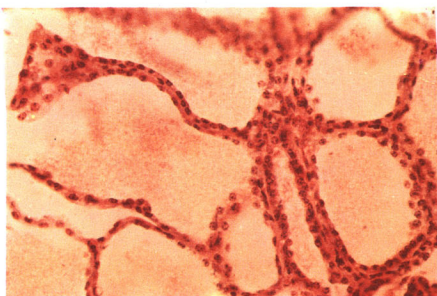


Fig. 259. Placentă. Vilozități coriale secționate transversal. Col. H.E., ob. 10.

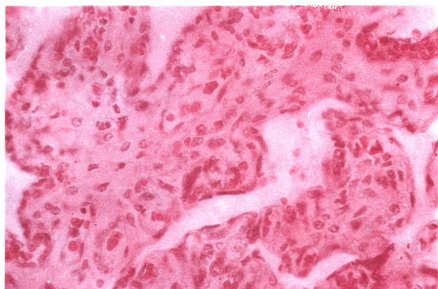


Fig. 260. Vilozități coriale. Bogată vascularizare în stroma conjunctivă. Col. H.E., ob. 40.

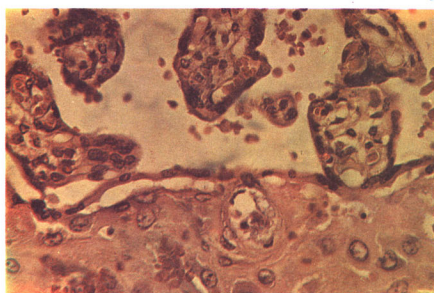


Fig. 261. Placentă. Vilozități coriale și celule deciduale.  
Col. H.E., ob. 40.

## Aparatul reproducător masculin

Fig. 262. Testicul. Tubi seminali și țesut intersticial. Col. hematoxilină ferică, Heidenhain, ob. 25.

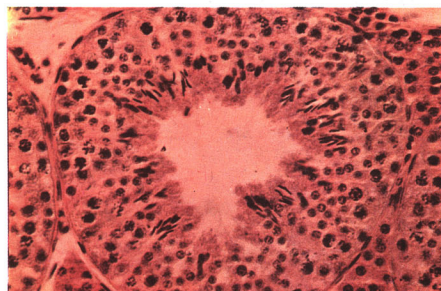


Fig. 263. Testicul. Tubi seminali cu epiteliu stratificat pe membrana bazală; glandă intersticială.

Leydig. Col. H.E., ob. 25.

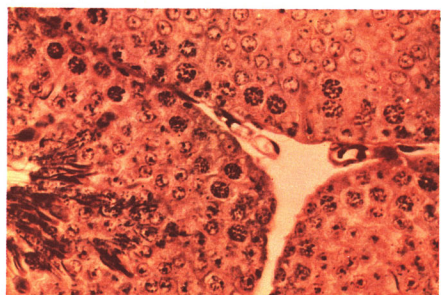


Fig. 264. Testicul. Epiteliu seminal cu spermatogonii, spermatocite I, spermatocite II, spermatide, spermatozoizi, celule Sertoli. Col. hematoxilină ferică, Heiden-hain, ob. 63.

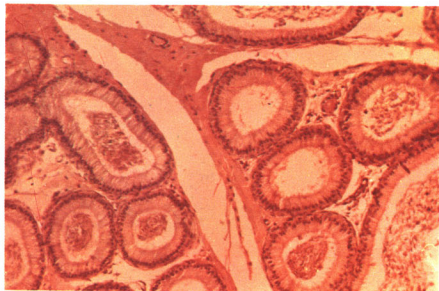


Fig. 265. Epididim. Col. H.E., ob. 10.

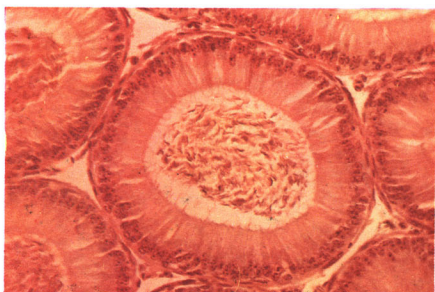


Fig. 266. Epididim. Epiteliu pseudostratificat cu stereocili. Col. H.E., ob. 25.

Fig. 267. *Canal deferent.*  
Mucoasă, musculară cu fibre  
musculare netede și seroasă.  
Col. H.E., ob. 10.

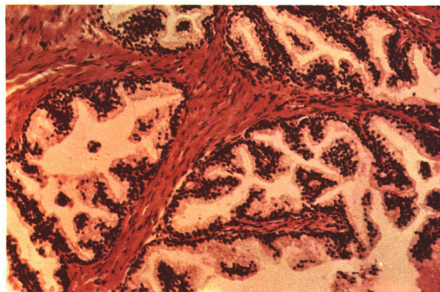
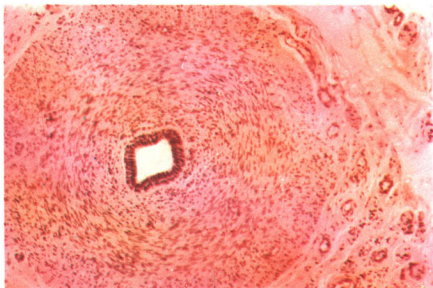


Fig. 268. *Prostată.* Stromă  
conjunctivo-musculară și compo-  
nentă glandulară constituită din  
acini tapetați de epiteliu pseudo-  
stratificat cilindric. Col. H.E.,  
ob. 40.

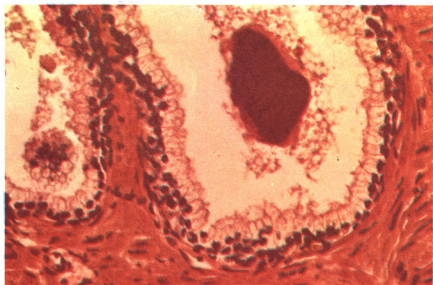


Fig. 269. *Prostată.* Epiteliu glan-  
dular; simpexjon. Col. H.E., ob. 25.

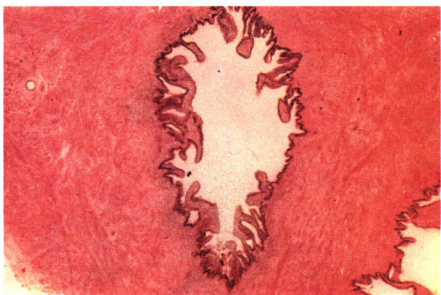


Fig. 270. Veziculă seminală. Mucoasă cu epiteliu pseudostratificat și corion. Musculatura formată din fibre musculare netede; seroasă din țesut conjunctiv lax. Col. H.E., ob. 10.

## Pielea

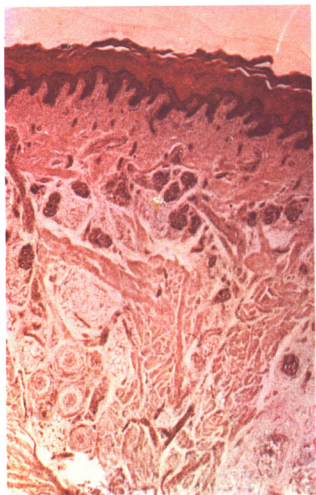


Fig. 271. Piele deget. Epiderm, derm și țesut subcutanat (Hipoderm). Col. H.E., lupă.

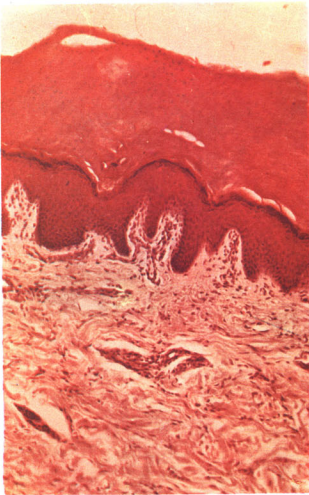


Fig. 272 A. Piele talpă. Epiderm cu strat cornos, foarte gros și dermul papilar. Col. H.E., ob. 10.

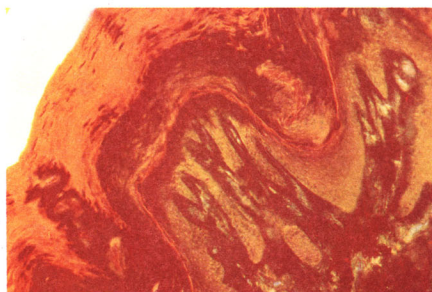


Fig. 272 A. Piele talpă. Col. H.E., albastru demetil, ob. 20.

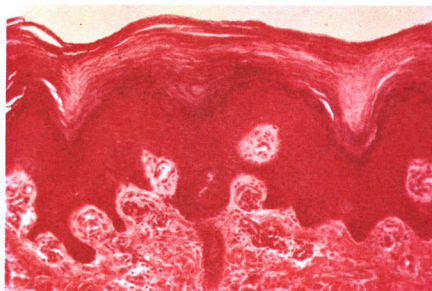
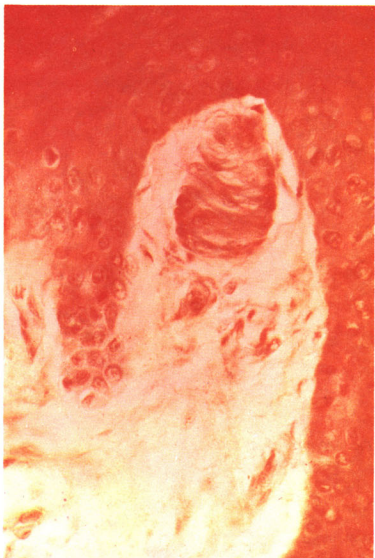


Fig. 273. Piele talpă. Col. H.E., ob. 20.

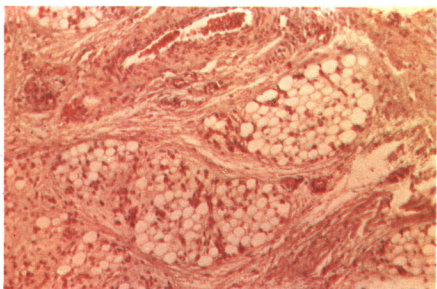


Fig. 274. Epiderm. Strat basal, poliedric (spinosis), granular, lucidum, cornos. Col. H.E., ob. 40.

*Fig. 275. Piele. Corpuscul senzitiv Meissner  
în papila dermică. Col. H.E., ob. 63.*



*Fig. 276. Piele. Panicul adipos în  
țesut celular subcutanat  
(Hipoderm). Col. H.E., ob. 10.*



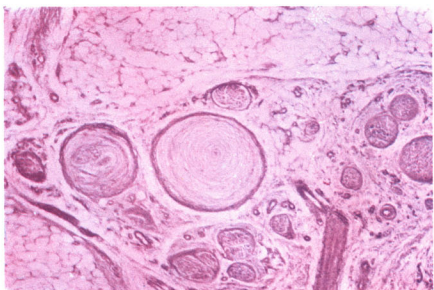


Fig. 277. Piele. În țesutul subcutanat (Hipoderm) corpusculii Vater-Pacini cu structură lamelară concentrică, țesut conjunctiv cu vase și nervi. Col. H.E., ob. 10.

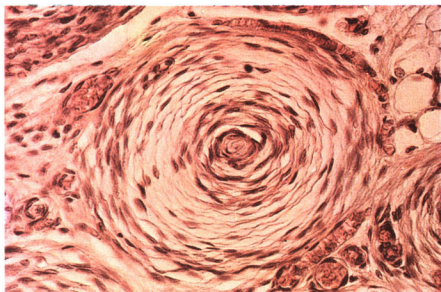


Fig. 272 B, Piele talpă. Col. H.E., albastru demetil, ob. 20.

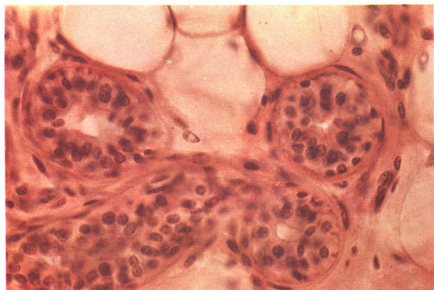
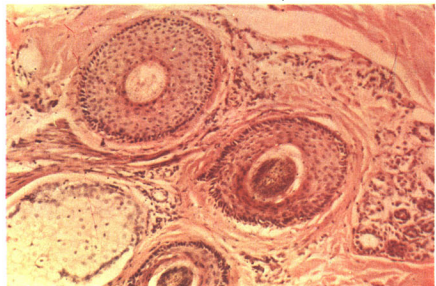
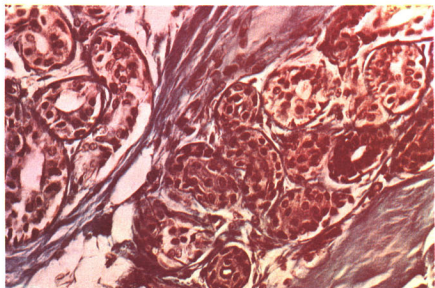
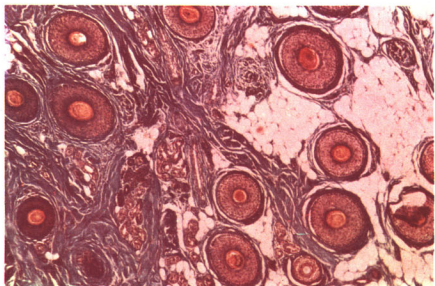


Fig. 279. Piele. Glomerul sudoripar și adipocite. Țesut subcutanat (Hipoderm). Col. H.E., ob. 40.

*Fig. 279 A. Piele. Glande sudoripare. Col. H.E., albastru de metil, ob. 40.*



*Fig. 280. Piele. Fire de păr secționate transversal. Tecile firului de păr, glandă sebacee și sudoripară în derm. Col. H.E., ob. 20.*



*Fig. 281. Piele. Fire de păr secționate transversal, țesut adipos alb și benzi groase de colagen. Col. H.E., albastru de metil, ob. 10.*

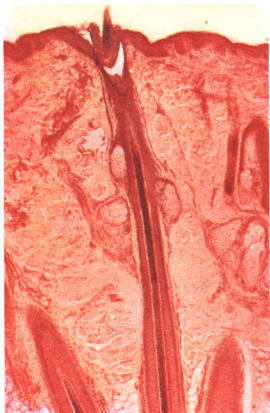


Fig. 282. Piele. Fir de păr sectionat longitudinal. Col. H.E., ob. 10.

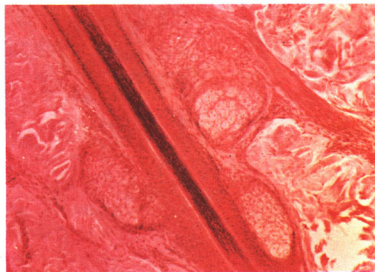


Fig. 283. Piele. Fir de păr longitudinal. Anexele firului de păr: mușchi erector și glandă sebacee. Col. H.E., ob. 20.

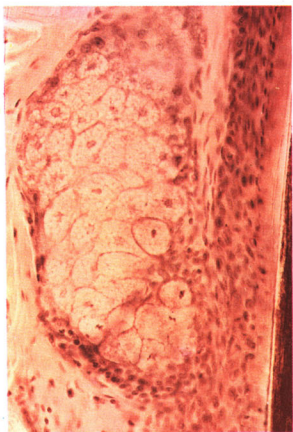


Fig. 283 A. Glanda sebacee. ob. 40. Col. H.E.



Fig. 284. Tesut subcutan (Hipoderm). Rădăcina firului de păr. Col. H.E., ob. 25.



Fig. 285. Derm. Bulb pilos, cu  
papilă și tecile firului de păr.  
Col. H.E., ob. 63.

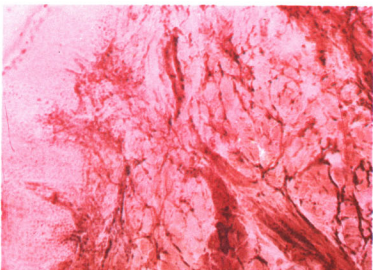


Fig. 285 A. Derm. Fibre elastice. Col. orceină ob. 10.

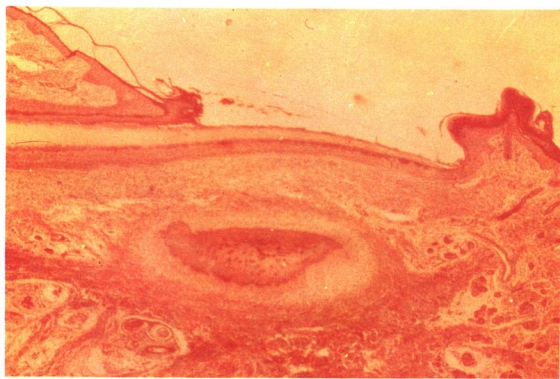


Fig. 285 B. Unghie. Col. H.E., ob. 10.

## Organele de simț

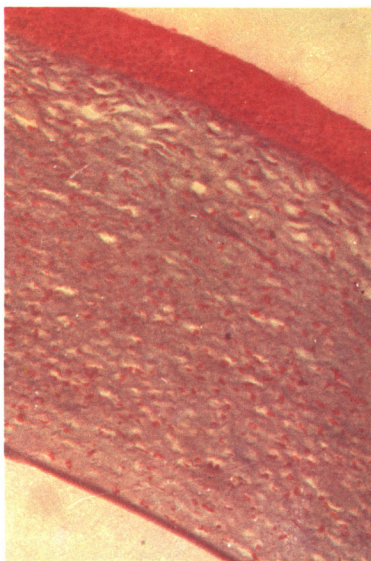
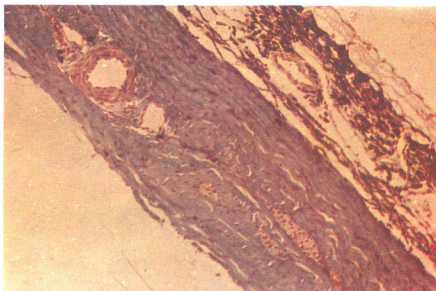
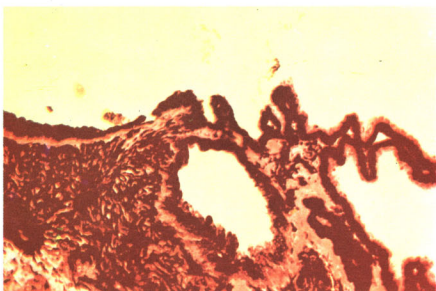


Fig. 286. Cornee. Epitelul anterior pluristratificat pavimentos de tip moale, membrana bazală anterioară Bowmann, țesut propriu corneean, membrana bazală posteroară (Descemet) și epiteliu posterior, Col. H.E., albastru de metil, ob. 20.

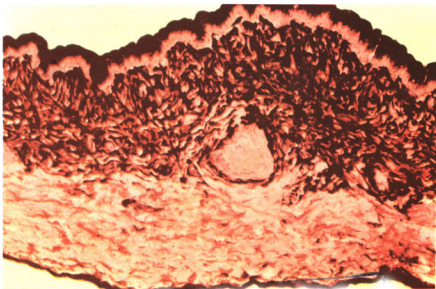
*Fig. 286 B. Sclera și coroïda.* Col. H.E., albastru de metil, ob. 10.



*Fig. 287. Corp ciliar.* Mușchiul ciliar și procesele ciliare. Epiteliu anterior cu două rânduri de celule cuboidale, țesut propriu ciliar, bogat în vase și celule pigmentare. Col. H.E., ob. 10.



*Fig. 288. Iris.* Epiteliu anterior, țesut propriu irian, epiteliu posterior. Col. H.E., ob. 10.



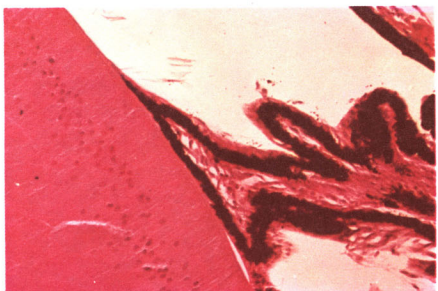


Fig. 288 A. Cristalin și proces ciliar. ob. 10. Col. H.E.,

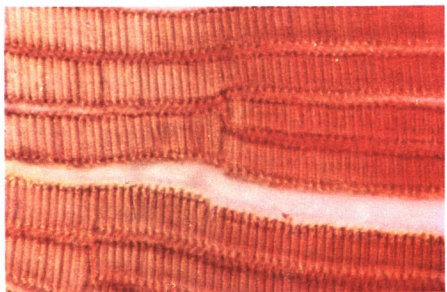


Fig. 288 B. Cristalin - prisme cristaliniene ob. 90.

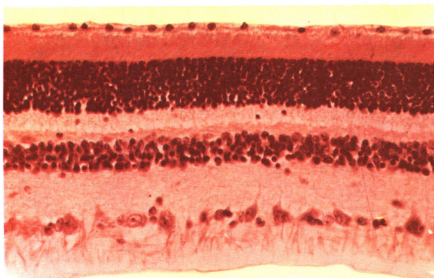
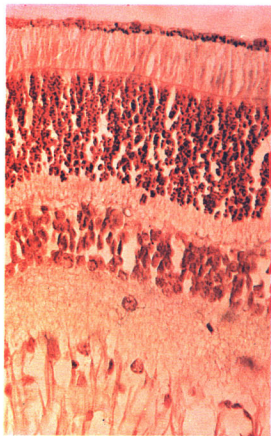
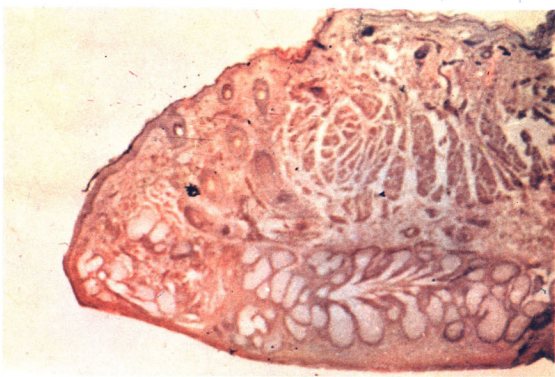
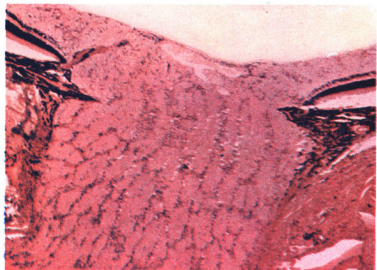


Fig. 289. Retină. Imagine de ansamblu. Straturile: pigmentar, conuri și bastonașe, limitanta externă; granular extern; plexiform extern, granular intern, plexiform intern, ganglionar, fibrele nervului optic, limitanta internă.  
Col. H.E., ob. 20.

*Fig. 290. Retină. Col. H.E., ob. 40.*



*Fig. 291. Retină. Papila nervului optic. Col. H.E., ob. 10.*



*Fig. 292. Pleoapă, piele, tars, conjunctivă, glandă și mușchi. Col. H.E., ob. 10.*

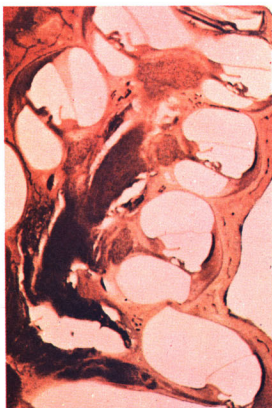


Fig. 293. Ureche internă. Secțiune prin melc. Col. H.E., ob. 10.



Fig. 294. Ureche internă. Secțiune prin melc. Col. H.E., ob. 20.

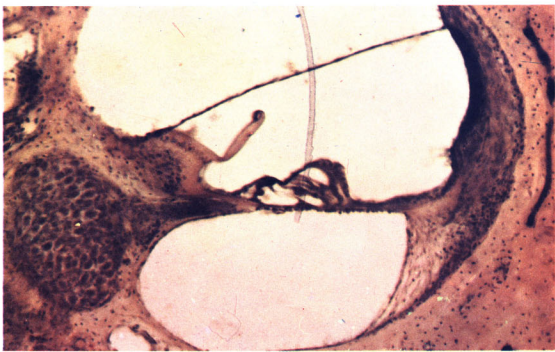


Fig. 295. Ureche internă. Secțiune printr-un tur al melcului. Rampa timpanică și vestibulară încadrează canalul cochlear delimitat de: membrana vestibulară, ligamentul spiral extern și membrana bazilară. Pe membrana bazilară organul Corti, format din celule de susținere și celule senzoriale acoperite de membrana tectoria prinsă cu un capăt de limbul lamei spirale osoase. Ganglionul Corti prezent în grosimea columelei. Col. H.E., ob. 40.

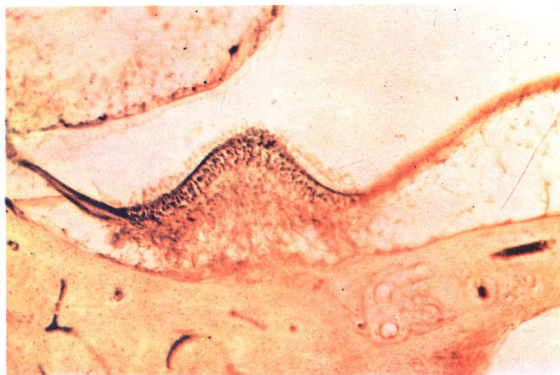


Fig. 296. Ureche internă. Macula otolitică. Col. H.E., ob. 20.

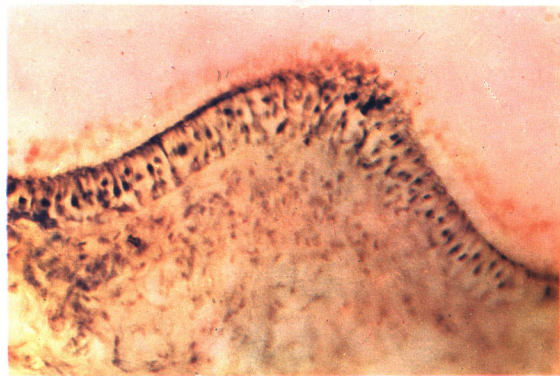


Fig. 297. Ureche internă. Macula otolitică. Col. H.E., ob. 40.



Fig. 298. Ureche internă. Ampulele canalelor semicirculare cu evidențierea cristelor ampulare. Col. H.E., ob. 20.



Fig. 299. Ureche internă. Criste ampulare. Col. H.E., ob. 40.

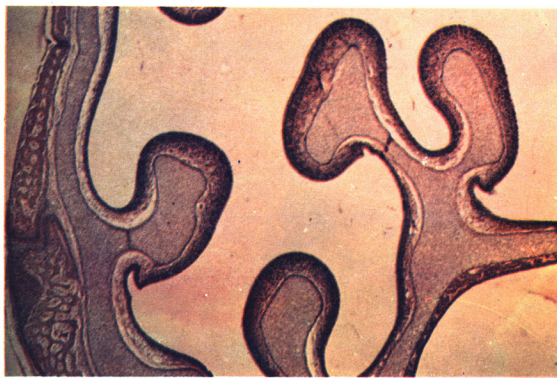
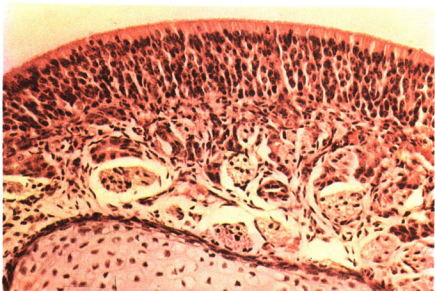
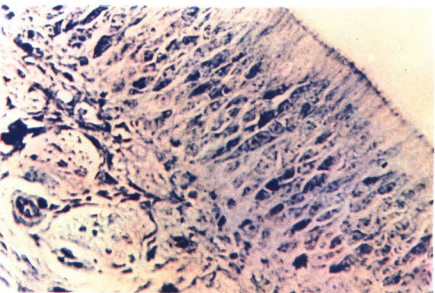


Fig. 300. Fose nazale. Mucoasă respiratorie la nivelul cornetelor. Col. H.E. Lupă.

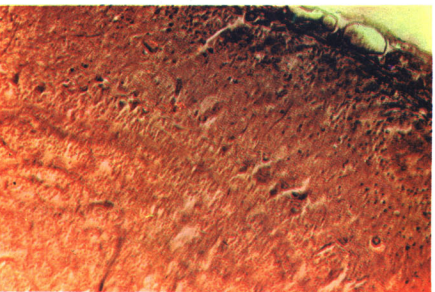
*Fig. 301. Mucoasă olfactivă.*  
Epiteliu olfactiv pluristratificat ciliat; corion bogat vascularizat cu glande Bowmann și fascicule de fibre nervoase. Col. H.E., ob. 20.



*Fig. 302. Mucoasă olfactivă.*  
Epiteliu pluristratificat ciliat, format din neuroni (celule senzoriale), celule bazale și celule de susținere ai căror nuclei sunt așezăți mai apical decât al celorlalte celule. Corionul conține glande seromucoase. Col. hematoxilină ferică, Heidenhain, ob. 63.



*Fig. 303. Bulb olfactiv.* Imagine de ansamblu: celule mitrale și fibre nervoase. Impregnare argentică, ob. 20.



# Index alfabetic

## A

Acidofile  
 Acini  
 Adenohipofiza  
 Adipocit  
 Agranulocite  
 Alveola:  
     - pulmonară  
     - dentară  
 Ameloblaști  
     (Adamantoblaști)  
 Anafază  
 Aortă  
 Aparatul:  
     - Golgi  
     - juxtaglomerular  
 Apendice  
 Aponevroză  
 Artere  
 Arteriole  
 Astrocyte fibroase  
 Astrocyte protoplasmaticae  
 Axon

## B

Bazofil  
 Bronhiolă  
 Bronchie  
 Bulb olfactiv

## C

Canal deferent  
 Capilare  
 Capsula Bowmann  
 Cardia  
 Cartilaj  
 Cavitate bucală  
 Celule acinoase

Celule adipoase  
 Celule enterocromafine  
 Celule cilindrice ciliate  
 Celule A.P.U.D.  
 Celule Kupffer  
 Celule Leydig  
 Celule mucoase  
 Celule Paneth  
 Celule Schwann  
 Celule Sertoli  
 Celule vizuale (cu con și bastonaș)  
 Cementocite  
 Cerebel  
 Clii  
 Cohlee (melc)  
 Colagen  
 Colon  
 Condroblast  
 Condrocit  
 Corion  
 Corpul progestativ (luteal)  
 Criste auditive  
 Corpuscul Meissner  
 Corpuscul Nissl  
 Corpuscul Paccini  
 Creier  
 Cromofile  
 Cromofobe  
 Cristalin

## D

Dendrite  
 Dentinogeneza  
 Derm  
 Dinte

## E

Elastină  
 Endocard  
 Endometru

Endost  
 Enterocite  
 Eozinofil  
 Epiderm  
 Epifiza  
 Epididim  
 Epiteliu  
 Eritrocite  
 Eritropoeză  
 Esofag

## F

Fibrilogeneza  
 Fibroblast  
 Fibre de colagen  
 Fibre elastice  
 Fibre de reticulină  
 Fibre musculare  
 Fibre nervoase  
 Ficat  
 Firul de păr  
 Folliculi limfatici  
 Frotiu vaginal

## G

Ganglion spinal  
 Ganglii limfatici, ganglioni vegetativi  
 Glande exocrine  
 Glande endocrine  
 Glandă mamară  
 Glandă sebacee  
 Glandă sudoripară  
 Granulocite  
 Grimelius

## H

Hematia  
 Hematopoeza

Hepatocite	N	Stomac
Hipofiza	Nefron	Stereocili
I	Nerv	Submandibulara
	Neurohipofiza	Suprarenale
Ileon	Neuron	
Incluziuni celulare	O	T
Intestin	Ochiul	Testicul
Iris	Organite celulare	Timus
J	Os	Tiroidea
	Osteogeneza	Trachea
Jejun	Ovar	Trompa uterină
K	Odontoblaste	
	P	T
Keratina	Pancreas	Tesut conjunctiv
Kupffer	Parotida	Tesut cartilaginos
L	Paratiroida	Tesut epitelial
	Pericard	Tesut muscular
Leucocite	Pilor	Tesut nervos
Limfocite	Plachete sanguine	Tesut osos
Limba	Placenta	
Luenta	Pleopă	U
	Polimorfonucleare	
M	Prostata	
	Pulmon	Unghe
Macrofage	R	Urechea
Miocard	Rinichi	Ureter
Mucoasa olfactivă	Reticulocite	Uter
Mucoasa nazală	Retina	
Mugure gustativ	S	V
Mușchi neted	Sângele	Vaginul
Mușchi striat	Sclera	Vase limfatică
	Splina	Vezica urinară
	Spermatogeneza	Vezi culă bilară
	Sinoviala	Vezi culă seminale
		Vilozitate intestinală

